

$\tau^- \rightarrow K^- \pi^- \pi^+ \nu_\tau$ 崩壊における CP対称性の破れの探索

奈良女子大学大学院 人間文化研究科
物理科学専攻 高エネルギー物理学研究室
近藤 麻由

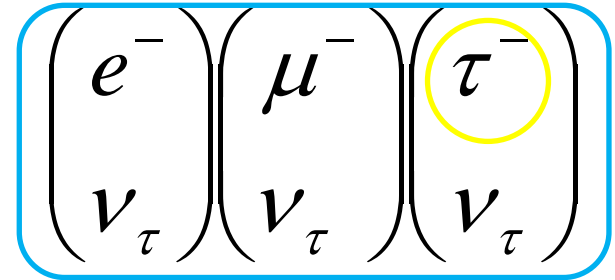
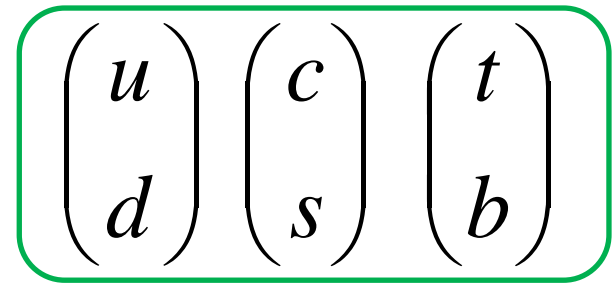
目次

- はじめに
 - τ 粒子の概要
 - $\tau^- \rightarrow K^- \pi^- \pi^+ \nu_\tau$ 崩壊におけるCP対称性の破れ
- 実験装置
- 事象選別
- $\tau^- \rightarrow K^- \pi^- \pi^+ \nu_\tau$ 崩壊の不変質量分布
- CP非対称度の解析
 - モンテカルロシミュレーションによるテスト
 - データを用いた測定結果
- まとめ

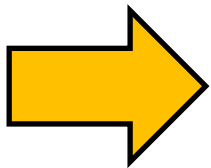
τ の概要

- 電子の約3500倍の質量を持つ
最も重いレプトン ($M_\tau = 1.77 \text{ GeV}$)
- tクォークやbクォークと共に
第3世代に属する
- 質量が重いので、レプトンの中で
唯一ハドロン崩壊が可能

クォーク



レプトン



標準理論を越える物理を探る上で、
高い感度を持つプローブとして機能する。

今回、 τ レプトンの崩壊におけるCP対称性の破れの探索について報告する

CP変換

- C: 荷電共役変換 (Charge Conjugation: 荷電などの内部量子数を反転)

- P: パリティ変換 (Parity: 空間反転)

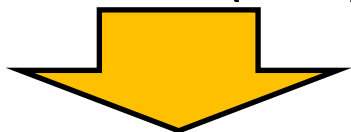
位置ベクトル: $(x, y, z) \rightarrow (-x, -y, -z)$

運動量ベクトル: $(P_x, P_y, P_z) \rightarrow (-P_x, -P_y, -P_z)$

⇒ CP変換: 演算子CとPの積

レプトン系におけるCP対称性の破れ

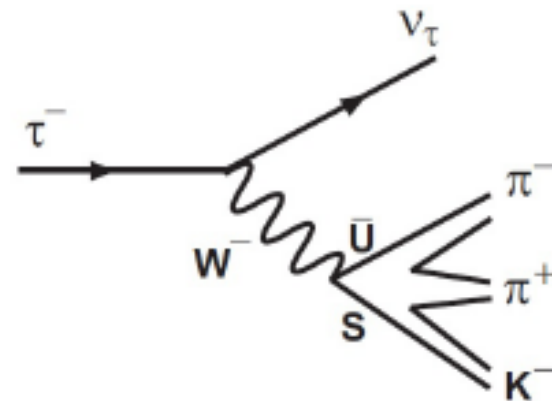
- 標準理論では、レプトン系におけるCP対称性の破れ(CPV)は存在しない。



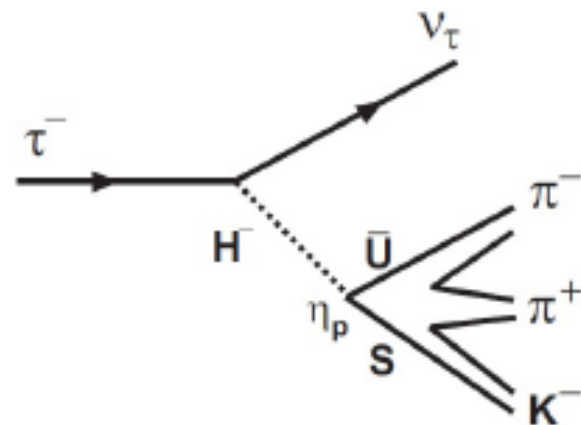
もしレプトン系のCPVを観測したら、新しい物理(NP)の効果である。

- レプトン系のCPVを起こすモデルの例として、非標準的な荷電ヒッグスボソン H^- の寄与が考えられる。
- 終状態にK中間子を含むモードに注目するのは、sクォークの方がu、dクォークよりも重く、ヒッグスとの結合力が強いので、探索感度が高いためである。

w-ボソンを媒介する
ハドロン崩壊(SM)



ヒッグスボソンを媒介する
ハドロン崩壊(NP)



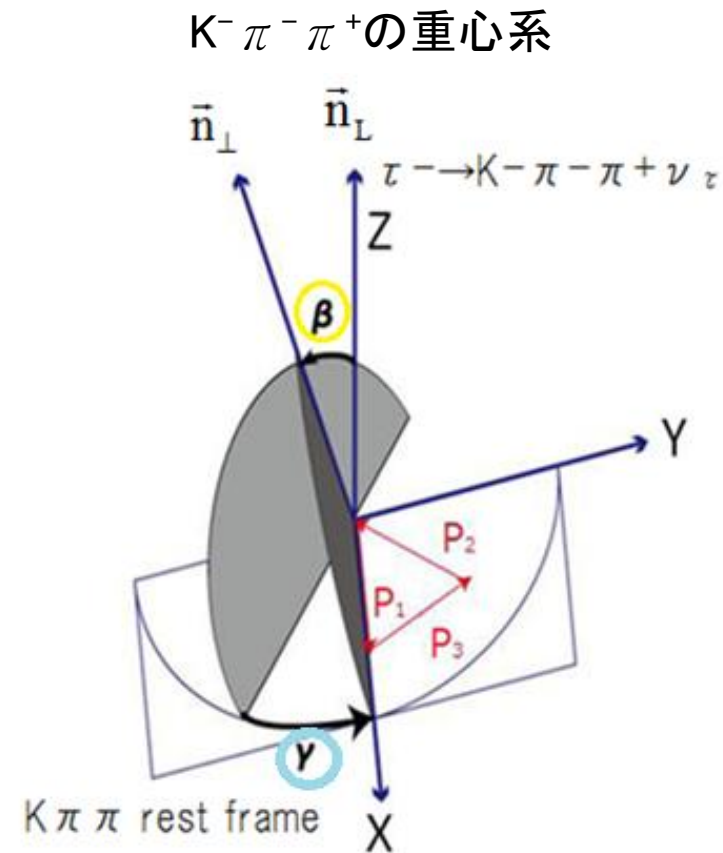
$\tau^- \rightarrow K^- \pi^- \pi^+ \nu_\tau$ 崩壊でのCP対称性の破れ

- $\tau^- \rightarrow K^- \pi^- \pi^+ \nu_\tau$ と $\tau^+ \rightarrow K^+ \pi^+ \pi^- \nu_\tau$ で崩壊の様子が異なること。
- CPVは τ^- と τ^+ の間での角分布の違いとして現れることが期待される。

崩壊角度の定義

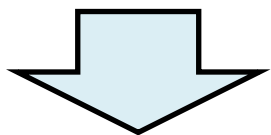
- $\tau^- \rightarrow K^- \pi^- \pi^+ \nu_\tau$ 崩壊の $K^- \pi^- \pi^+$ 静止系において、それぞれの運動量を次のように定義する。

$$\tau^-(\vec{p}_{123}) \rightarrow K^-(\vec{p}_1) \pi^-(\vec{p}_2) \pi^+(\vec{p}_3) \nu_\tau$$



CP変換と角度変数

$$\tau^-(\vec{p}_{123}) \rightarrow K^-(\vec{p}_1)\pi^-(\vec{p}_2)\pi^+(\vec{p}_3)\nu_\tau$$



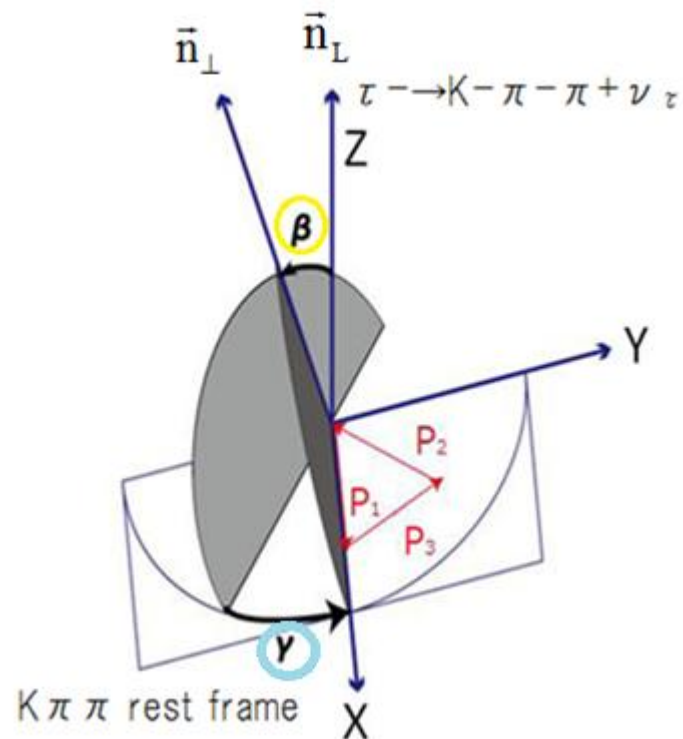
CP変換

$$\tau^+(\ominus\vec{p}_{123}) \rightarrow K^+(\ominus\vec{p}_1)\pi^+(\ominus\vec{p}_2)\pi^-(\ominus\vec{p}_3)\bar{\nu}_\tau$$

τ^-	τ^+
$\cos\beta$	$\ominus\cos\beta$
$\sin\beta\sin\gamma$	$\sin\beta\sin\gamma$
$\sin\beta\cos\gamma$	$\sin\beta\cos\gamma$

- $\cos\beta$ のみが、 τ^+ の場合に符号が反転する

$$\cos\beta = \vec{n}_L \cdot \vec{n}_\perp = \vec{n}_L \cdot (\vec{p}_1 \times \vec{p}_2) \rightarrow \tau^+ \text{の場合、符号が反転}$$



ハドロン構造因子

- 一般に τ 粒子の三体へのハドロン崩壊は、4つのハドロン構造因子 B_1 、 B_2 、 B_3 、 B_4 を用いて表現できる。

B1、B2	ベクター
B3	軸ベクター
B4	スカラー

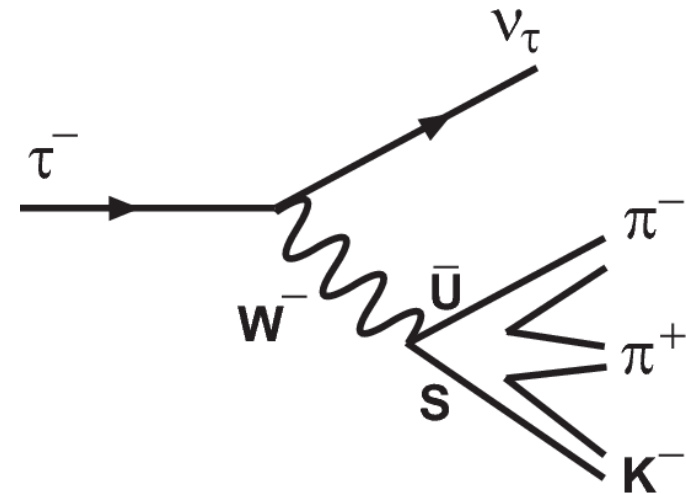
- 4つのハドロン構造因子 B_1 、 B_2 、 B_3 、 B_4 は次のような3つの質量に依存している。

$$Q^2 = M^2(K^- \pi^- \pi^+)$$

$$s_1 = M^2(\pi^- \pi^+)$$

$$s_2 = M^2(K^- \pi^+)$$

$$\tau^- \rightarrow K^-(p_1) \pi^-(p_2) \pi^+(p_3) \nu_\tau$$



$\tau^- \rightarrow K^- \pi^- \pi^+ \nu_\tau$ の微分崩壊幅

$$\begin{aligned}
 \frac{d\Gamma(\tau^-)}{dQ^2 ds_1 ds_2 d\gamma d\cos\beta d\cos\theta} &= \frac{G_F^2 \sin^2\theta_c (m_\tau^2 - Q^2)^2}{512(2\pi)^6 m_\tau^3 Q^2} \\
 &\times \left\{ \left[\frac{2}{3}K_1 + K_2 + \frac{1}{3}\bar{K}_1(3\cos^2\beta - 1)/2 \right] (|B_1|^2 + |B_2|^2) \right. \\
 &+ \left[\frac{2}{3}K_1 + K_2 - \frac{2}{3}\bar{K}_1(3\cos^2\beta - 1)/2 \right] |B_3|^2 + K_2|B_4|^2 \\
 &- \frac{1}{2}\bar{K}_1 \sin^2\beta \cos 2\gamma (|B_1|^2 - |B_2|^2) + \bar{K}_1 \sin^2\beta \sin 2\gamma \text{Re}(B_1 B_2^*) \\
 &+ \underline{2\bar{K}_3 \sin\beta \sin\gamma \text{Re}(B_1 B_3^*)} \oplus \underline{2\bar{K}_2 \sin\beta \cos\gamma \text{Re}(B_1 B_4^*)} \\
 &+ \underline{2\bar{K}_3 \sin\beta \cos\gamma \text{Re}(B_2 B_3^*)} \ominus \underline{2\bar{K}_2 \sin\beta \sin\gamma \text{Re}(B_2 B_4^*)} \\
 &+ \underline{2\bar{K}_3 \cos\beta \text{Im}(B_1 B_2^*)} + \bar{K}_1 \sin 2\beta \cos\gamma \text{Im}(B_1 B_3^*) \\
 &\left. - \bar{K}_1 \sin 2\beta \sin\gamma \text{Im}(B_2 B_3^*) \oplus \underline{2\bar{K}_2 \cos\beta \text{Im}(B_3 B_4^*)} \right\}
 \end{aligned}$$

CP-evenな項 ← CP-oddな項

- 微分崩壊幅は6つの変数からなる関数
(3つの質量 $M(K\pi\pi)$ 、 $M(K\pi)$ 、 $M(\pi\pi)$ と3つの角度 β 、 γ 、 θ)
- 微分崩壊幅はCP-evenな項とCP-oddな項を持つ。
- CPの効果は B_4 に含まれる。

→ τ^+ の場合、
符号が反転する。

➡ B_4 を含む3つのCP-oddな項($\sin\beta\sin\gamma$ 、 $\sin\beta\cos\gamma$ 、 $\cos\beta$ に依存する項)に注目する。

	CP-even な項	CP-odd な項
$\cos\beta$	$\text{Im}(B_1 B_2^*)$: ベクター + ベクター	$\text{Im}(B_3 B_4^*)$: 軸ベクター + スカラー
$\sin\beta \sin\gamma$	$\text{Re}(B_1 B_3^*)$: ベクター + 軸ベクター	$\text{Re}(B_2 B_4^*)$: ベクター + スカラー
$\sin\beta \cos\gamma$	$\text{Re}(B_2 B_3^*)$: ベクター + 軸ベクター	$\text{Re}(B_1 B_4^*)$: ベクター + スカラー

- $\cos\beta$ に関する前方後方非対称度 $A_{FB}^{(3)}$

$$A_{FB,i}^{(3)} = \left(\frac{N_i(\cos\beta \geq 0) - N_i(\cos\beta \leq 0)}{N_i(\cos\beta \geq 0) + N_i(\cos\beta \leq 0)} \right)_{\tau^\pm}$$

- $\cos\beta$ に関するCP非対称度 $A_{CP}^{(3)}$

$$A_{CP,i}^{(3)} \equiv A_{FB,i}^{(3)}(\tau^-) - A_{FB,i}^{(3)}(\tau^+)$$

ここで、 i は質量ビンを表す。

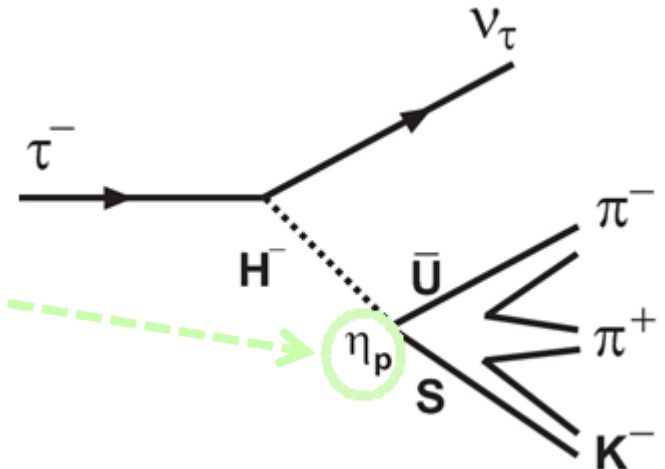
$N_i(\cos\beta > 0)$: i 番目のビンにあり、 $\cos\beta > 0$ の領域に存在する事象数

$N_i(\cos\beta < 0)$: i 番目のビンにあり、 $\cos\beta < 0$ の領域に存在する事象数

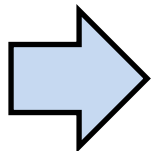
新しい物理 (NP) の効果

- NP の効果は、ハドロン構造因子 B_4 の項を以下のように置き換えることで一般的に取り入れられる。

$$B_4 \rightarrow \tilde{B}_4 = B_4 + \frac{f_H}{m_\tau} \eta_P$$



- η_P は複素数の結合定数で、 τ^- と τ^+ で $\eta_P \rightarrow \eta_P^*$ に変換される。



NP における CP 対称性の破れの原因となる

実験装置

KEKB加速器

非対称エネルギー

電子・陽電子衝突型加速器

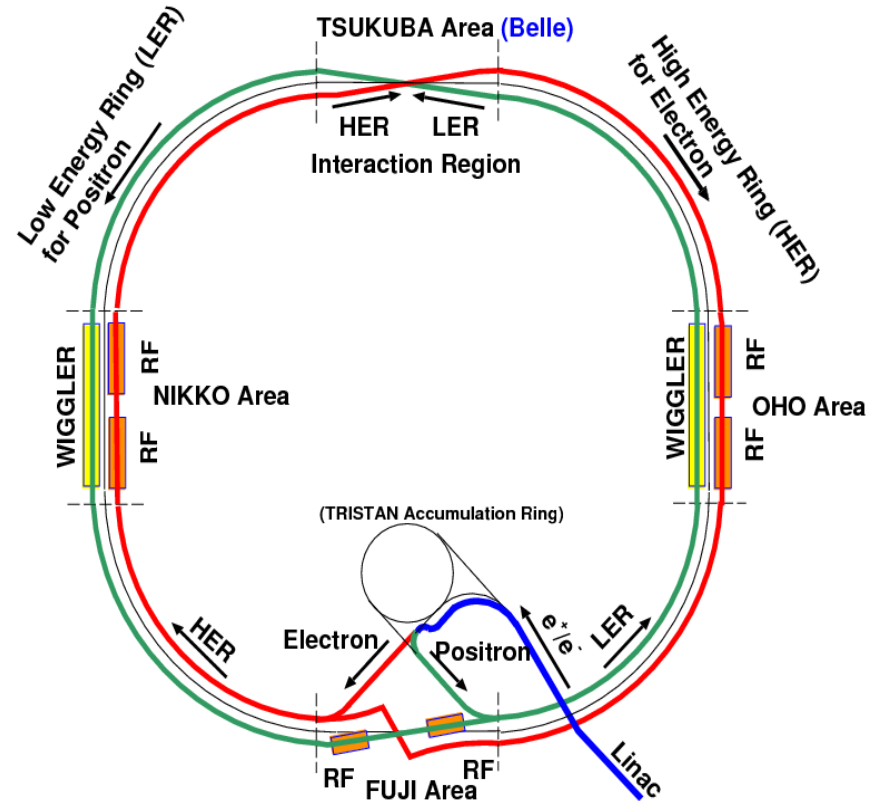
電子: 8.0 GeV

陽電子: 3.5 GeV

重心系のエネルギー: 10.58 GeV

- ・ B中間子を大量に生成し、研究するのに理想的な設計
- ・ B中間子とほぼ同数の τ 粒子も生成できる

→ τ ファクトリーとしても重要!



実験装置

Belle検出器

- ・生成された粒子を検出するために複数の装置で構成されている

SVD: Silicon Vertex Detector

- ・粒子崩壊点の測定

CDC: Central Drift Chamber

- ・荷電粒子の飛跡や運動量の測定

ACC: Aerogel Cerenkov Counter

- ・ K^\pm と π^\pm の識別

TOF: Time of Flight

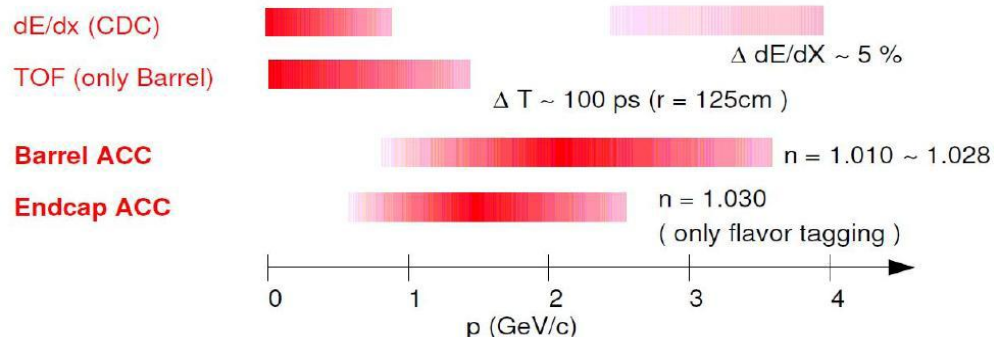
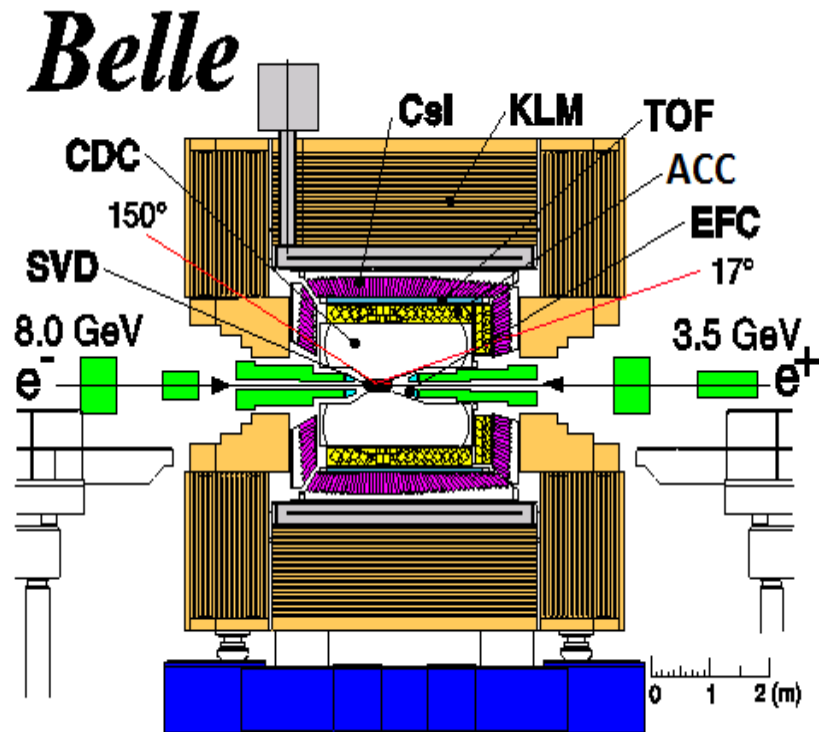
- ・荷電粒子の飛行時間を測定

ECL: Electromagnetic Calorimeter

- ・電子や光子のエネルギー測定

KLM: KL、 μ Detector

- ・KL、 μ 粒子の検出



各検出器の粒子識別の可能な運動量領域。それぞれ粒子識別に適した運動量領域があり、各検出器はその他を補うことで広範囲の運動量領域のK/ π 識別が可能となる。

事象選別

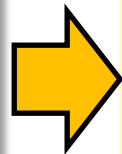
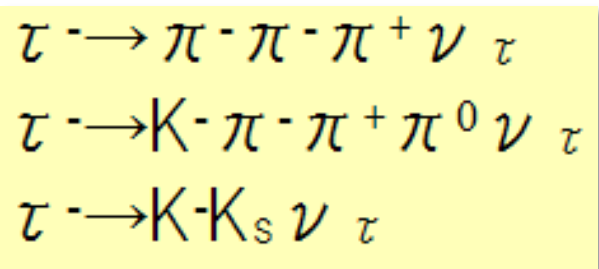
- 今回使ったデータ量665/fb
- $e^+e^- \rightarrow \tau^+\tau^-$ 事象選別:

バックグラウンド $\Rightarrow e^+e^- \rightarrow q\bar{q}$ 生成、 μ 対生成、バーバー散乱、二光子過程など

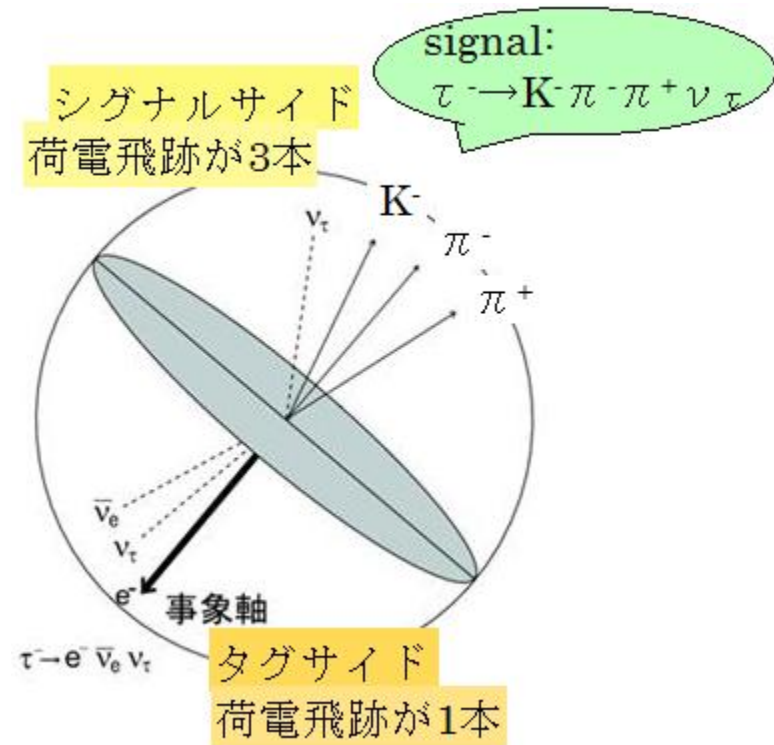
τ の崩壊の特徴として終状態の荷電粒子の数が少ないことが挙げられる。
 荷電飛跡が4本であること、かつ電荷の合計がゼロであることを要求

- 運動量が最も高い荷電飛跡を事象軸とし、
 e^+e^- の重心系で2つの半球に分ける

τ 崩壊からくる主なバックグラウンド



K、 π 荷電粒子
 γ 、 π^0 のveto
 K_S のveto



荷電粒子の識別

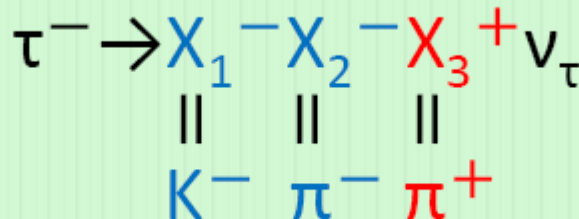
- ・ π/K の識別にはCDCから得られるエネルギー損失(dE/dx)、TOFおよびACCの情報を用いる。
- ・これらの情報から π らしさを表す関数 $P(\pi/K)$ を準備

$$\pi: P(\pi/K) \geq 0.6$$

$$K: P(\pi/K) < 0.1$$

この条件で π と K を識別する。

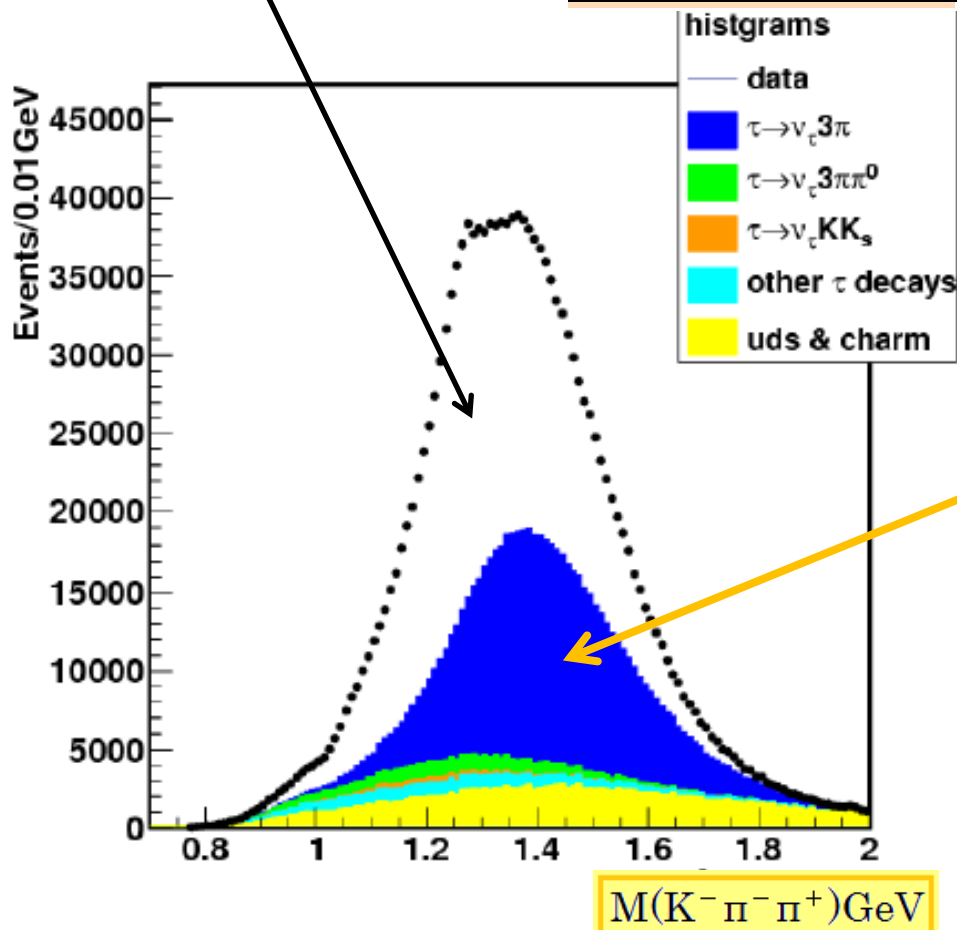
- ・終状態の3本の荷電粒子それぞれが π/K に識別されていることを要求



$\tau^- \rightarrow K^- \pi^- \pi^+ \nu_\tau$ 崩壊候補事象の $K^- \pi^- \pi^+$ 不変質量分布 670/fb

白い部分が
シグナル

黒丸：データ



$\tau^- \rightarrow K^- \pi^- \pi^+ \nu_\tau$ 選別

1,711,060 イベント

$\tau^- \rightarrow K^- \pi^- \pi^+ \nu_\tau$: 856,198 イベント

$\tau^+ \rightarrow K^+ \pi^- \pi^+ \nu_\tau$: 854,862 イベント

崩壊モード

割合

$\tau^- \rightarrow \pi^- \pi^- \pi^+ \nu_\tau$

31.9%

$\tau^- \rightarrow \pi^- \pi^- \pi^+ \pi^0 \nu_\tau$

2.91%

$\tau^- \rightarrow K^- K_s \nu_\tau$

0.60%

$\tau^- \rightarrow K^- \pi^- \pi^+ \pi^0 \nu_\tau$

2.42%

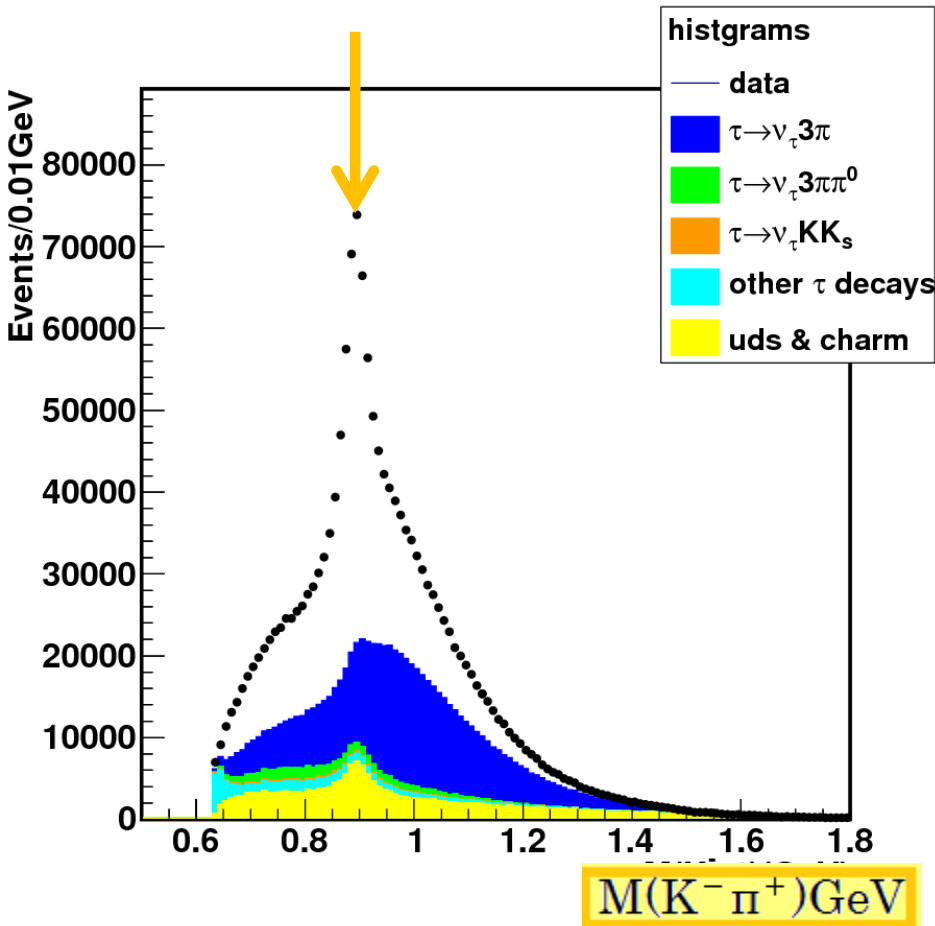
$\tau^- \rightarrow K^- K^+ \pi^- \nu_\tau$

1.84%

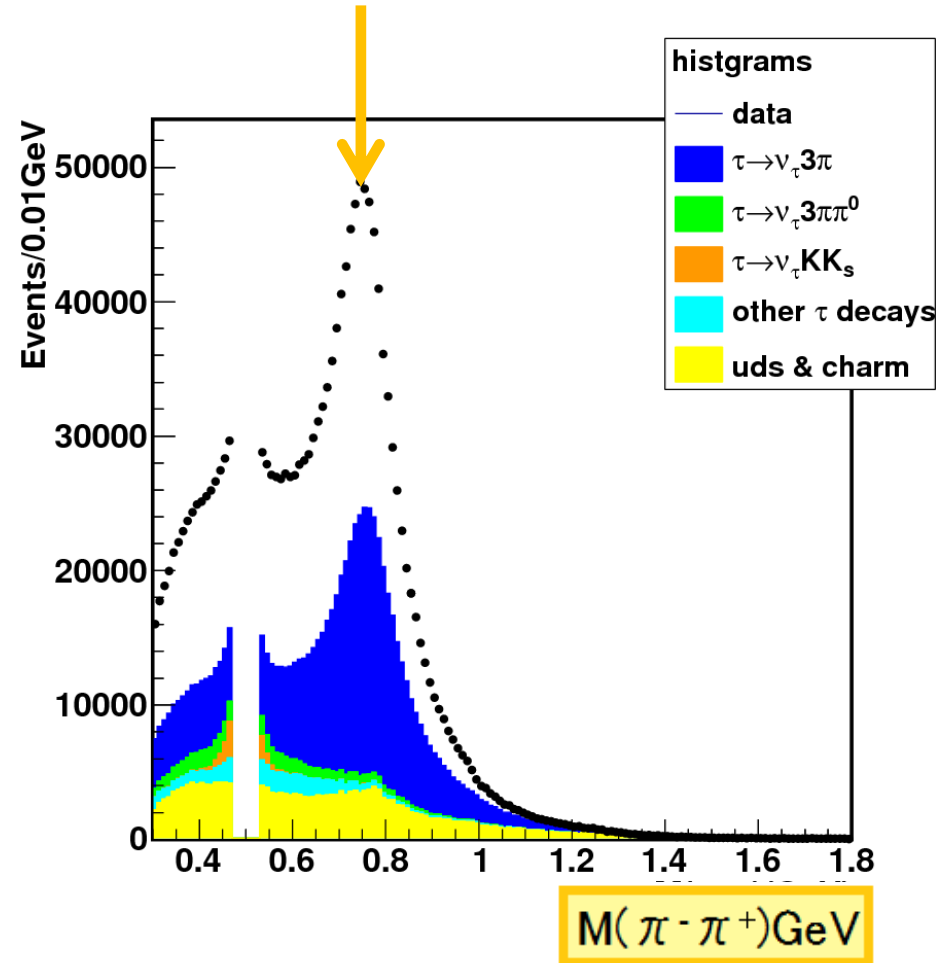
$e^+ e^- \rightarrow qq \nu_e (q=u,d,s,c)$

13.2%

$\tau^- \rightarrow K^- \pi^- \pi^+ \nu_\tau$ 崩壊候補事象の $K^- \pi^+$ と $\pi^- \pi^+$ 不変質量分布



890MeV付近に $K^*(892)$ 共鳴による
ピークが見える



770MeV付近に $\rho(770)$ 共鳴による
ピークが見える

CP非対称度の測定方法

- $\cos\beta$ に関して

前方後方非対称度

$$A_{FB,i}^{(3)} = \left(\frac{N_i(\cos\beta \geq 0) - N_i(\cos\beta \leq 0)}{N_i(\cos\beta \geq 0) + N_i(\cos\beta \leq 0)} \right)_{\tau^\pm}$$

CP非対称度

$$A_{CP,i}^{(3)} \equiv A_{FB,i}^{(3)}(\tau^-) - A_{FB,i}^{(3)}(\tau^+)$$

- $\sin\beta\sin\gamma$ 、 $\sin\beta\cos\gamma$ に関しても同様に測定する

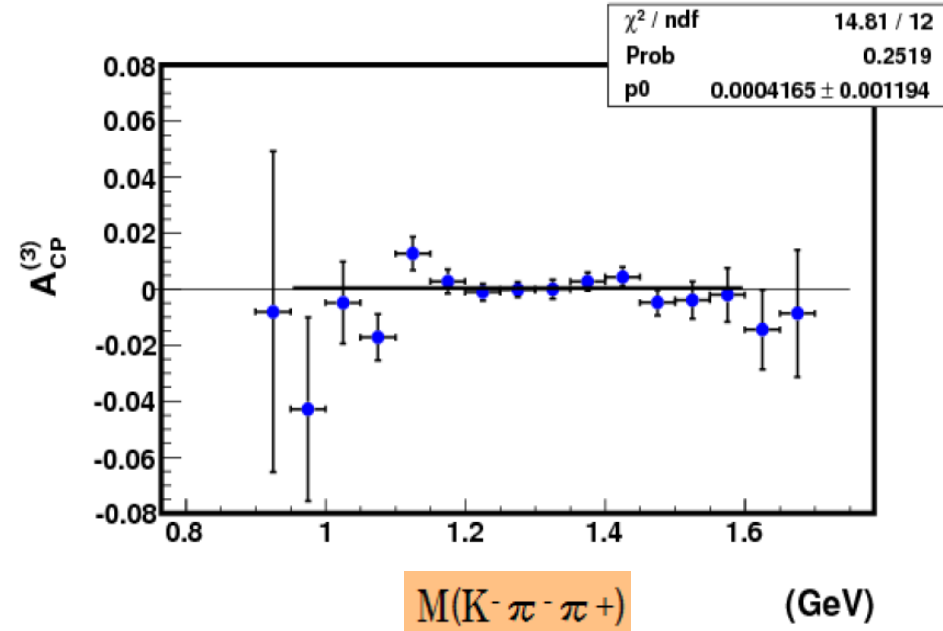
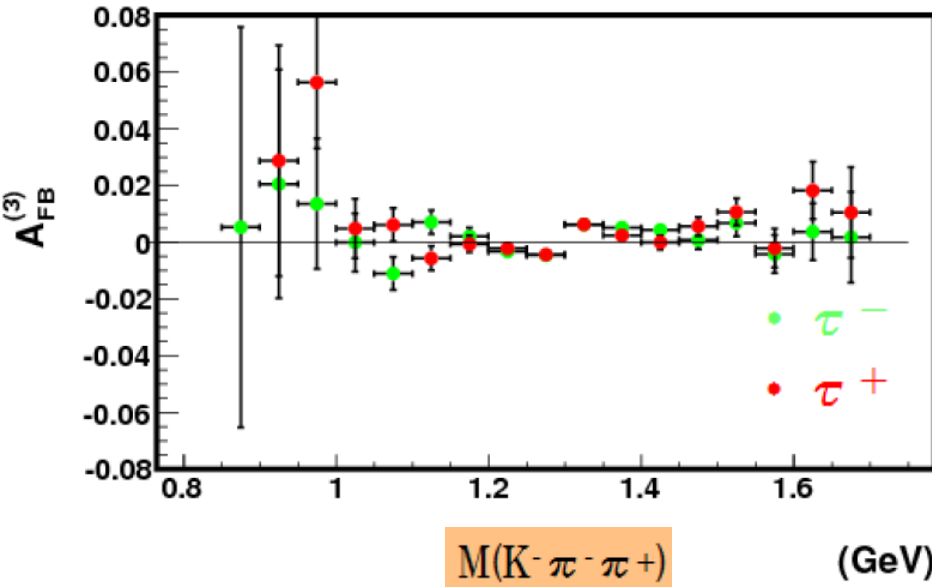
モンテカルロシミュレーションによるテスト

- CPの破れの効果が入っていないモンテカルロ事象を用いた
→ τ 粒子対のスピン-スピン相関の非対称度や、検出効率のバイアスの影響がないことを調べる
- モンテカルロシミュレーションでは、generatorレベルと観測レベルでテストをした。
 - generatorレベル: 100%の検出効率を持つ
 - 観測レベル: 検出器のシミュレーションを含む
- 今回、3つの崩壊角 $\sin\beta\sin\gamma$ 、 $\sin\beta\cos\gamma$ 、 $\cos\beta$ に関するCP非対称度を、3つの質量 $M(K\pi\pi)$ 、 $M(K\pi)$ 、 $M(\pi\pi)$ について調べる。

観測レベルでの $\cos\beta$ に関するCP非対称度(質量 $K\pi\pi$)

$$A_{FB,i}^{(3)} = \left(\frac{N_i(\cos\beta \geq 0) - N_i(\cos\beta \leq 0)}{N_i(\cos\beta \geq 0) + N_i(\cos\beta \leq 0)} \right)_{\tau^\pm}$$

$$A_{CP,i}^{(3)} = A_{FB,i}^{(3)}(\tau^-) - A_{FB,i}^{(3)}(\tau^+)$$

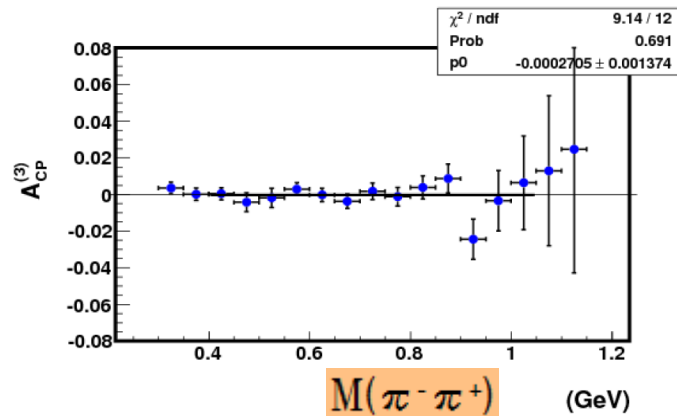
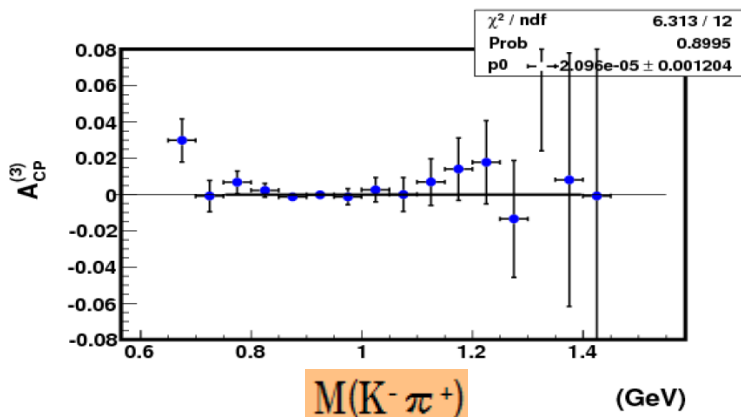
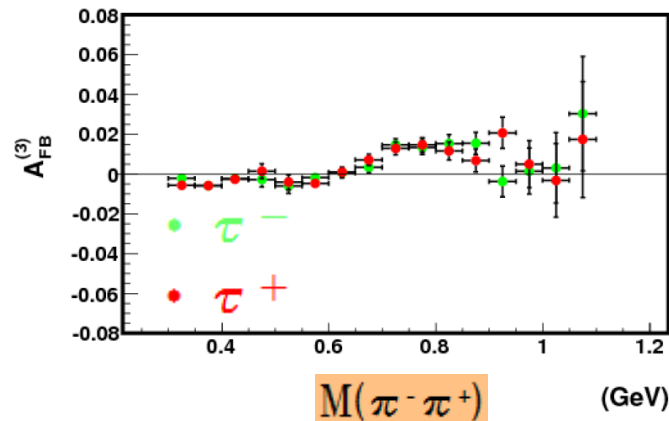
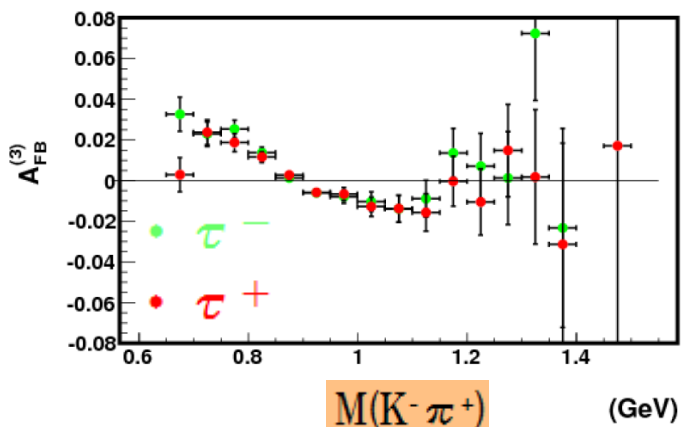


- ・定量的な評価: CP非対称度がゼロという仮定で χ^2 を計算
(probは χ^2/ndf の値を持つ確率、 \bar{A}_{CP} (p^0)はCP非対称度の平均値)

$\chi^2/\text{ndf}: 14.81/12$
 prob: 0.25
 $\bar{A}_{CP}: 0.0004 \pm 0.0012$

0.12%で $A_{CP}=0$ という仮定に無矛盾

観測レベルでの $\cos\beta$ に関するCP非対称度(質量 $K\pi$ 、 $\pi\pi$)



$\chi^2 / \text{ndf}: 6.313 / 12$
 prob: 0.90
 $\bar{A}_{CP} : -0.00002 \pm 0.0012$

$\chi^2 / \text{ndf}: 9.14 / 12$
 prob: 0.69
 $\bar{A}_{CP} : -0.0003 \pm 0.0014$

0.12%で $A_{cp}=0$ という仮定に無矛盾

0.14%で $A_{cp}=0$ という仮定に無矛盾

モンテカルロシミュレーションのテストにおける CP非対称度の平均値 \bar{A}_{CP}

崩壊角	質量	\bar{A}_{CP} (generatorレベル)	\bar{A}_{CP} (観測レベル)
cos β	M(K $\pi\pi$)	-0.0009 \pm 0.0005	0.0004 \pm 0.0012
	M(K π)	-0.0009 \pm 0.0005	-0.00002 \pm 0.0012
	M($\pi\pi$)	-0.0010 \pm 0.0005	-0.0003 \pm 0.0014
sin β sin γ	M(K $\pi\pi$)	-0.0002 \pm 0.0005	-0.0040 \pm 0.0012
	M(K π)	-0.0004 \pm 0.0005	-0.0041 \pm 0.0012
	M($\pi\pi$)	-0.0004 \pm 0.0005	-0.0042 \pm 0.0014
sin β cos γ	M(K $\pi\pi$)	0.0002 \pm 0.0005	-0.0023 \pm 0.0012
	M(K π)	0.0001 \pm 0.0005	-0.0026 \pm 0.0012
	M($\pi\pi$)	0.00002 \pm 0.0005	-0.0015 \pm 0.0014

CP非対称度がゼロという仮定に無矛盾。

データを用いたCP非対称度の測定

- 今回用いたデータの $\tau^\pm \rightarrow K^\pm \pi^- \pi^+ \nu_\tau$ 事象数: 1,711,060

$\tau^- \rightarrow K^- \pi^- \pi^+ \nu_\tau$ 事象数 $N(\tau^-): 854,862 \pm 925$

$\tau^+ \rightarrow K^+ \pi^+ \pi^- \nu_\tau$ 事象数 $N(\tau^+): 856,198 \pm 925$

- $\tau^- \rightarrow K^- \pi^- \pi^+ \nu_\tau$ 事象と $\tau^- \rightarrow \pi^- \pi^- \pi^+ \nu_\tau$ 事象についてのCP非対称度を、3つのCP-oddな項(崩壊角 $\sin\beta\sin\gamma$ 、 $\sin\beta\cos\gamma$ 、 $\cos\beta$ に比例する項)に関して、質量ごとに調べた。

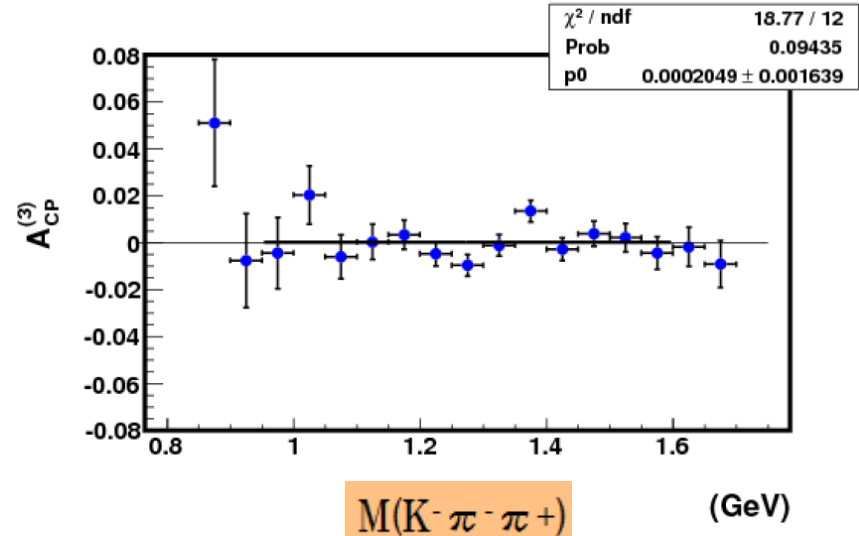
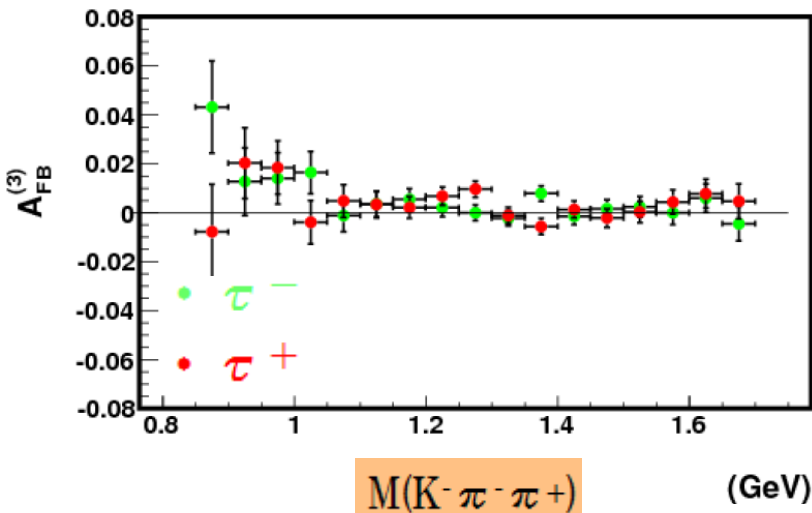
- $\tau^- \rightarrow K^- \pi^- \pi^+ \nu_\tau$ 事象の主なバックグラウンド: $\tau^- \rightarrow \pi^- \pi^- \pi^+ \nu_\tau$ 事象

 バックグラウンドからの影響を調べることができる。

データでの $\cos\beta$ に関するCP非対称度(質量 $K\pi\pi$)

$$A_{FB,i}^{(3)} = \left(\frac{N_i(\cos\beta \geq 0) - N_i(\cos\beta \leq 0)}{N_i(\cos\beta \geq 0) + N_i(\cos\beta \leq 0)} \right)_{\tau^\pm}$$

$$A_{CP,i}^{(3)} = A_{FB,i}^{(3)}(\tau^-) - A_{FB,i}^{(3)}(\tau^+)$$



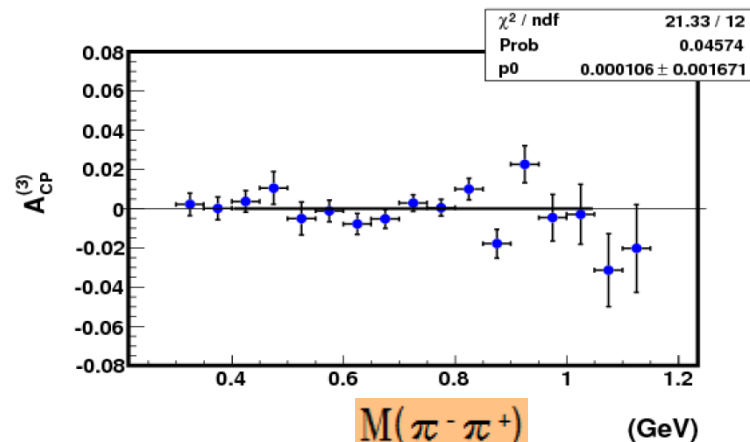
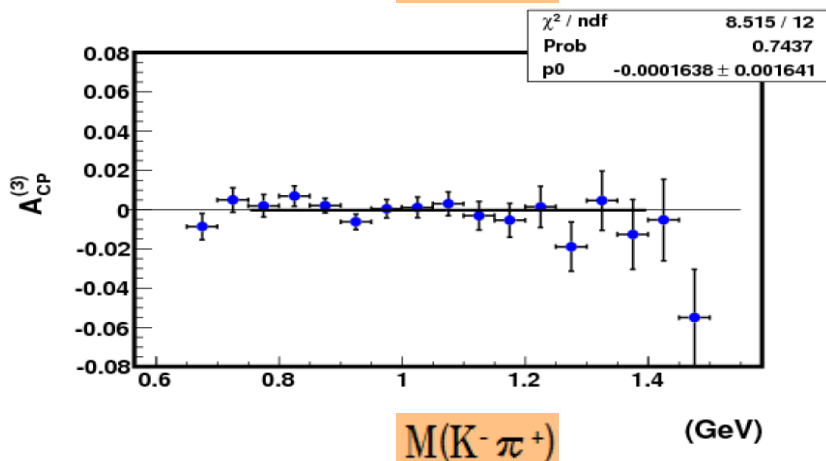
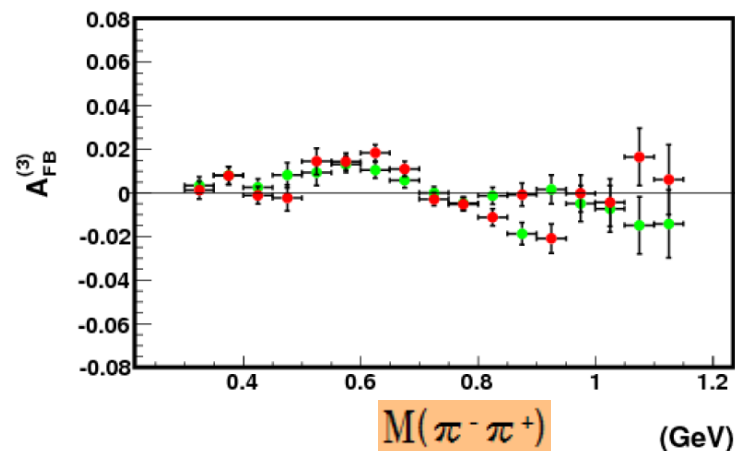
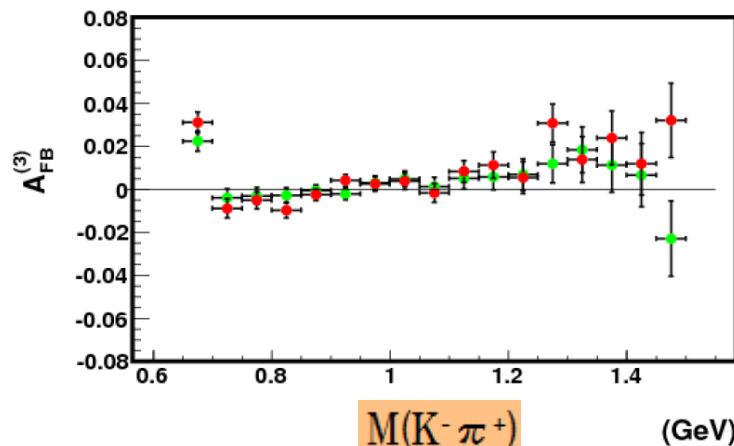
0.16%で $A_{CP} = 0$ という仮定に無矛盾

$\chi^2 / \text{ndf}: 18.77 / 12$

prob: 0.09

$\bar{A}_{CP} : 0.0002 \pm 0.0016$

データでの $\cos\beta$ に関するCP非対称度(質量 $K\pi$ 、 $\pi\pi$)



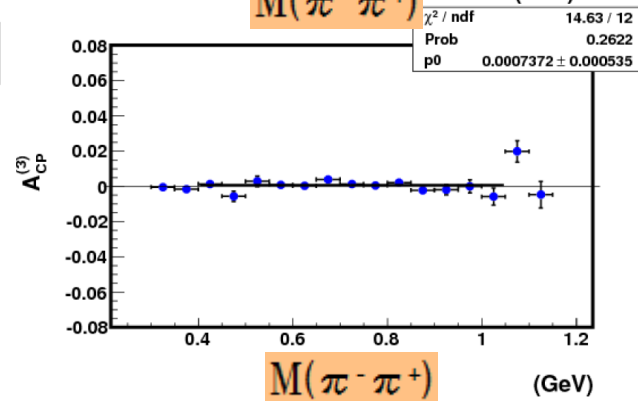
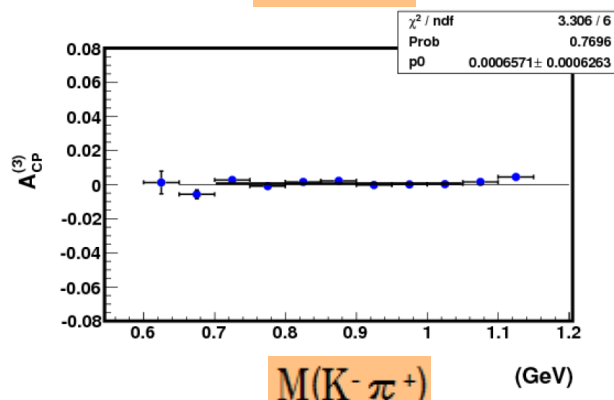
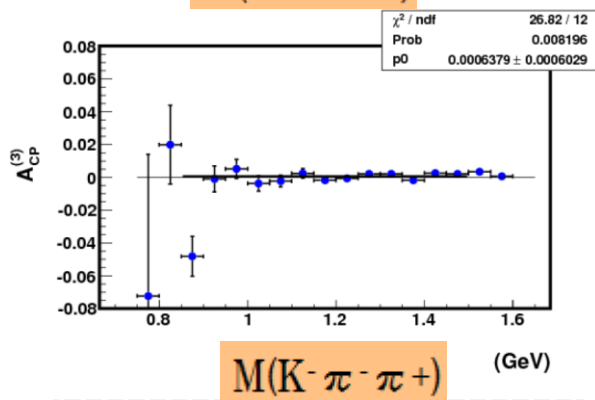
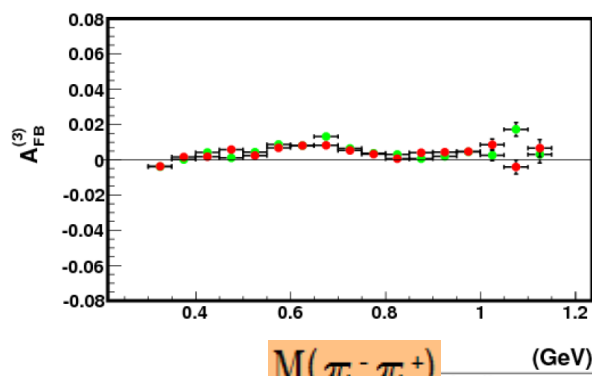
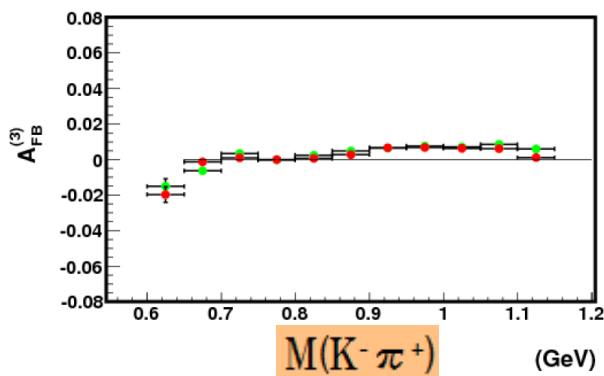
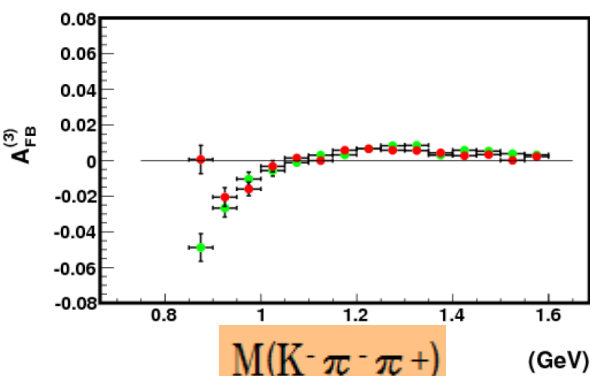
$\chi^2/\text{ndf}: 8.515/12$
 prob: 0.74
 $\bar{A}_{CP} : -0.0002 \pm 0.0016$

$\chi^2/\text{ndf}: 21.33/12$
 prob: 0.05
 $\bar{A}_{CP} : 0.0001 \pm 0.0017$

0.16%で $A_{CP}=0$ という仮定に無矛盾

0.17%で $A_{CP}=0$ という仮定に無矛盾

主なバックグラウンドである $\tau^- \rightarrow \pi^- \pi^- \pi^+ \nu_\tau$ 事象の $\cos\beta$ に関するCP非対称度 $A_{CP}^{(3)}$ ⁽³⁾

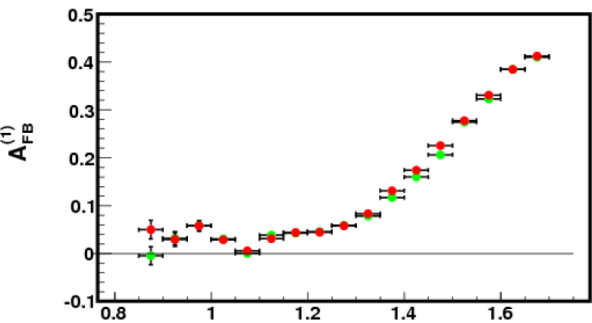


$\chi^2 / \text{ndf}: 26.82 / 12$
 prob: 0.01
 $\bar{A}_{CP}: 0.0006 \pm 0.0006$

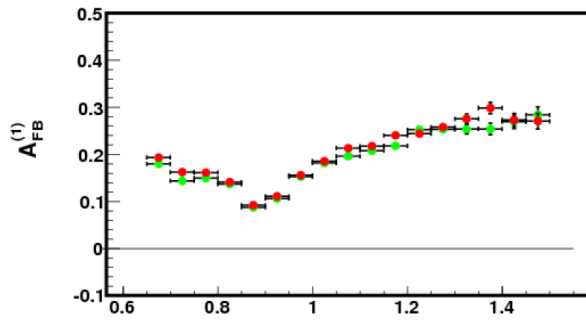
$\chi^2 / \text{ndf}: 3.306 / 6$
 prob: 0.77
 $\bar{A}_{CP}: 0.0007 \pm 0.0006$

$\chi^2 / \text{ndf}: 14.63 / 12$
 prob: 0.26
 $\bar{A}_{CP}: 0.0007 \pm 0.0005$

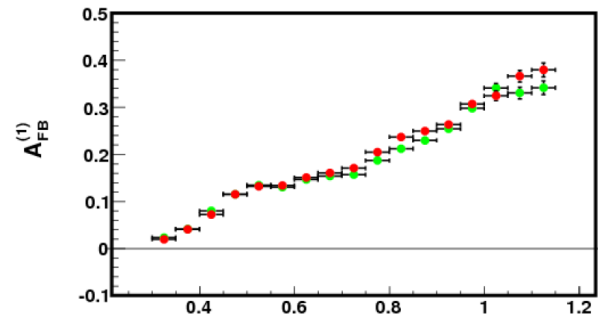
データでの $\sin\beta\sin\gamma$ に関するCP非対称度 $A_{CP}^{(1)}$ ⁽¹⁾



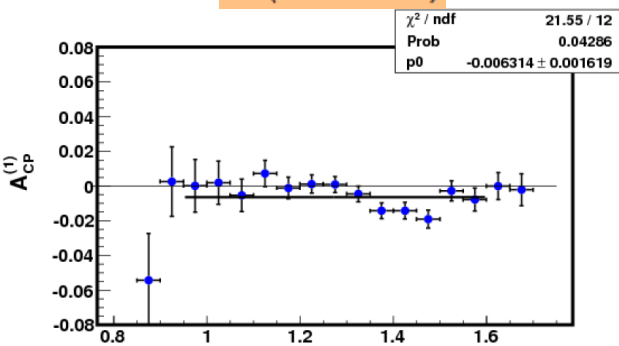
$M(K^- \pi^- \pi^+)$ (GeV)



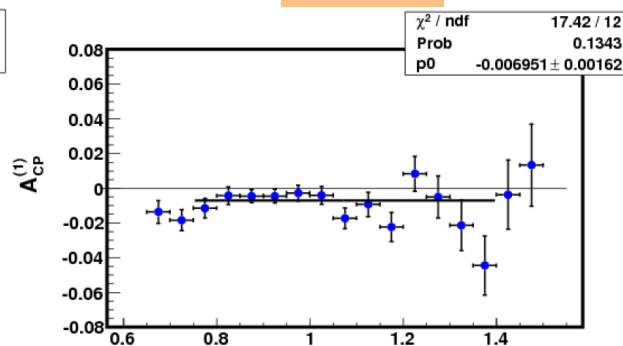
$M(K^- \pi^+)$ (GeV)



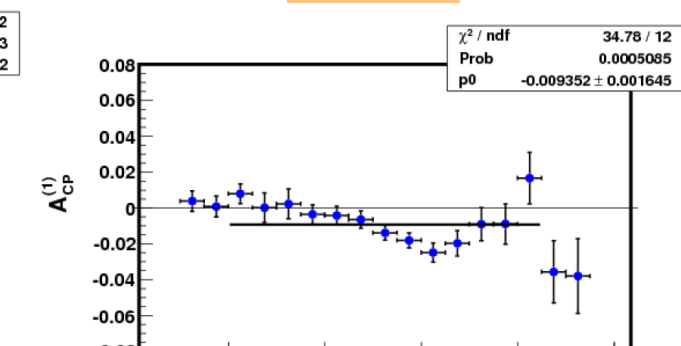
$M(\pi^- \pi^+)$ (GeV)



$M(K^- \pi^- \pi^+)$ (GeV)



$M(K^- \pi^+)$ (GeV)



$M(\pi^- \pi^+)$ (GeV)

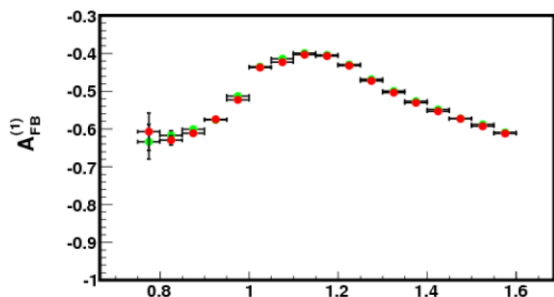
$\chi^2/\text{ndf}: 21.55/12$
 prob: 0.04
 $\bar{A}_{CP}: -0.0063 \pm 0.0016$

$\chi^2/\text{ndf}: 17.42/12$
 prob: 0.13
 $\bar{A}_{CP}: -0.0070 \pm 0.0016$

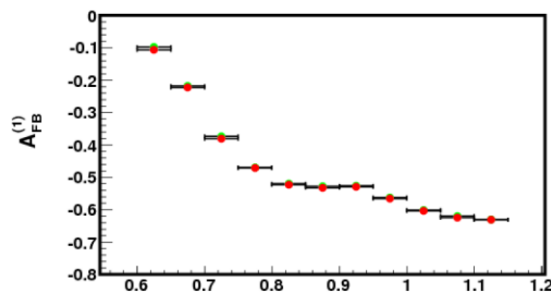
$\chi^2/\text{ndf}: 34.78/12$
 prob: 0.0005
 $\bar{A}_{CP}: -0.0094 \pm 0.0016$

$\pi^- \pi^+$ の分布で、約-1%の構造がみられる。

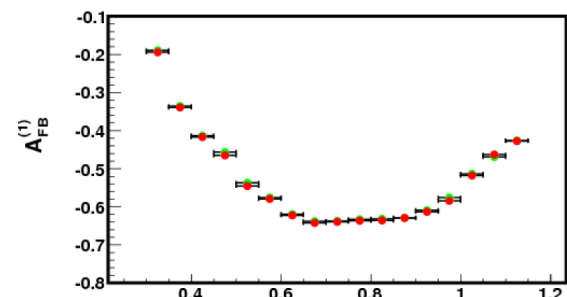
主なバックグラウンドである $\tau^- \rightarrow \pi^- \pi^- \pi^+ \nu_\tau$ 事象の $\sin\beta\sin\gamma$ に関するCP非対称度 $A_{CP}^{(1)}$



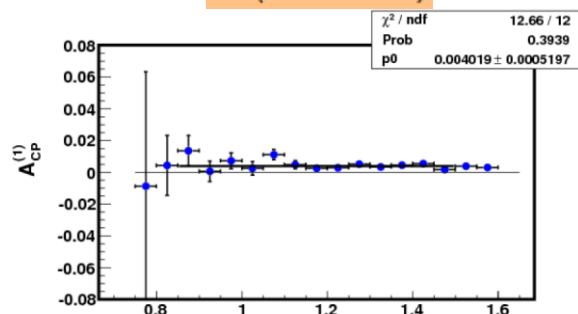
$M(K^- \pi^- \pi^+)$ (GeV)



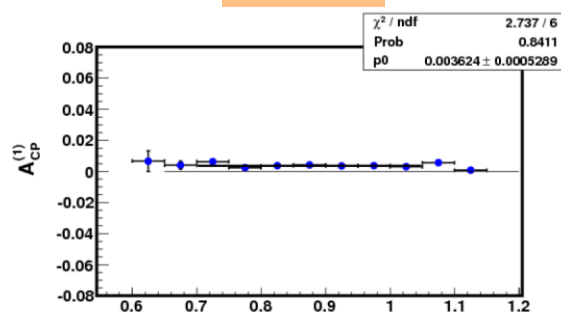
$M(K^- \pi^+)$ (GeV)



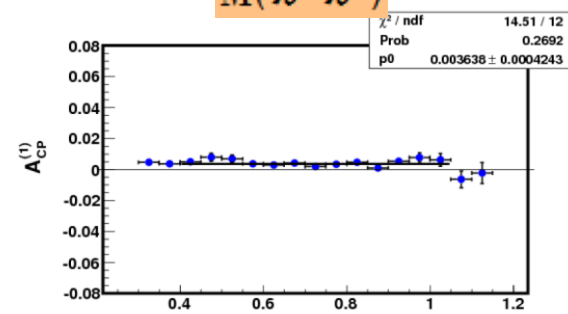
$M(\pi^- \pi^+)$ (GeV)



$M(K^- \pi^- \pi^+)$ (GeV)



$M(K^- \pi^+)$ (GeV)



$M(\pi^- \pi^+)$ (GeV)

$\chi^2/\text{ndf}: 12.66/12$

prob: 0.39

$\bar{A}_{CP} : 0.0040 \pm 0.0005$

$\chi^2/\text{ndf}: 2.737/6$

prob: 0.84

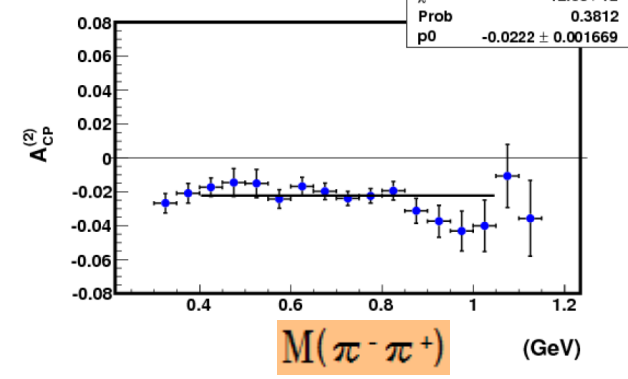
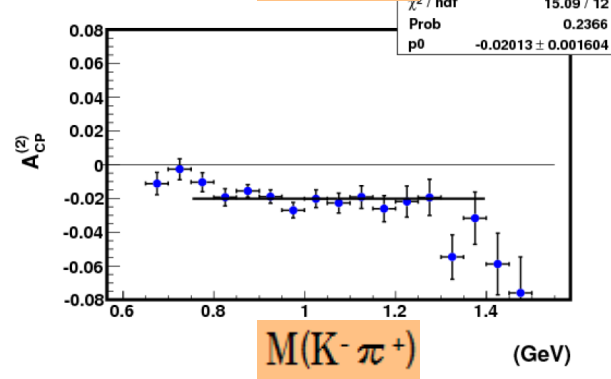
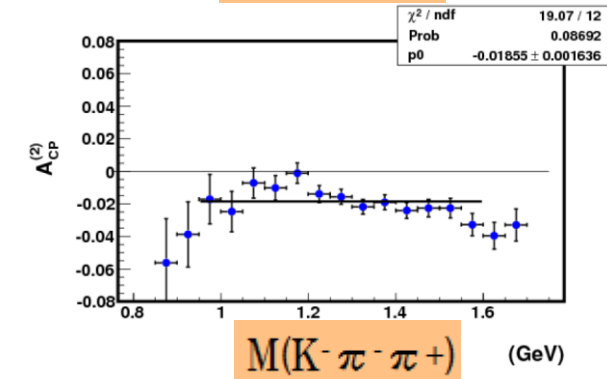
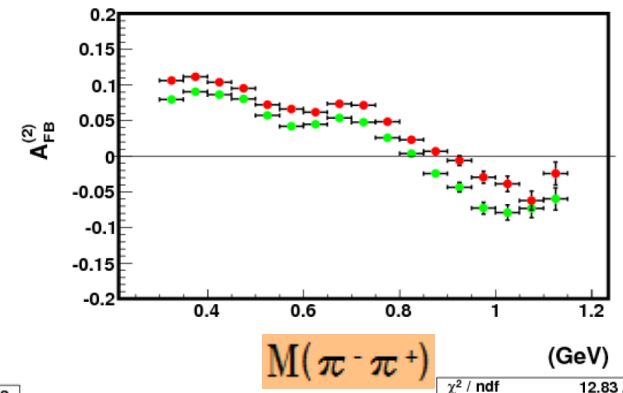
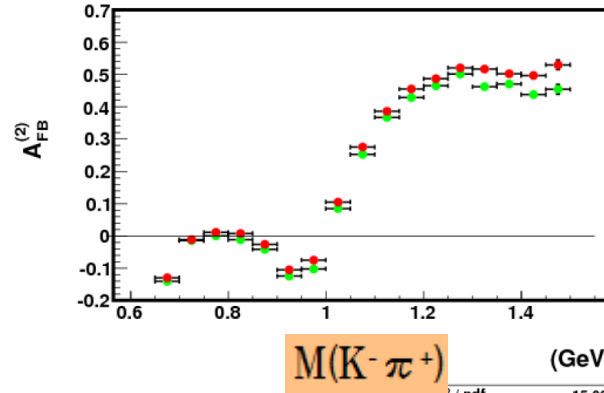
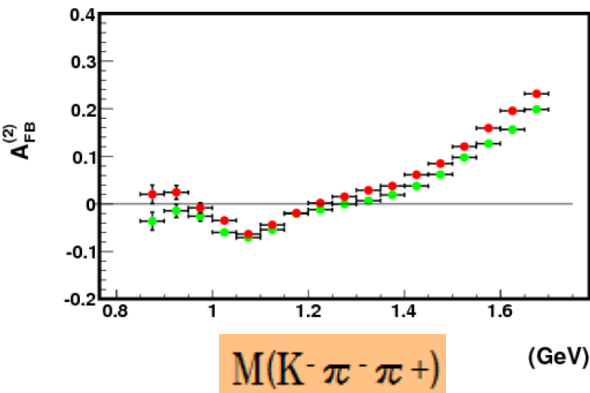
$\bar{A}_{CP} : 0.0036 \pm 0.0005$

$\chi^2/\text{ndf}: 14.51/12$

prob: 0.27

$\bar{A}_{CP} : 0.0036 \pm 0.0004$

データでの $\sin\beta\cos\gamma$ に関するCP非対称度 $A_{CP}^{(2)}$



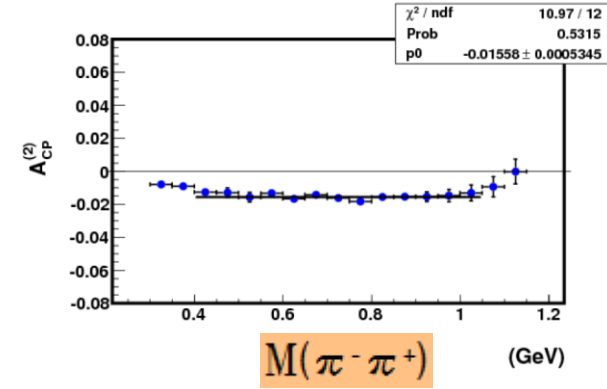
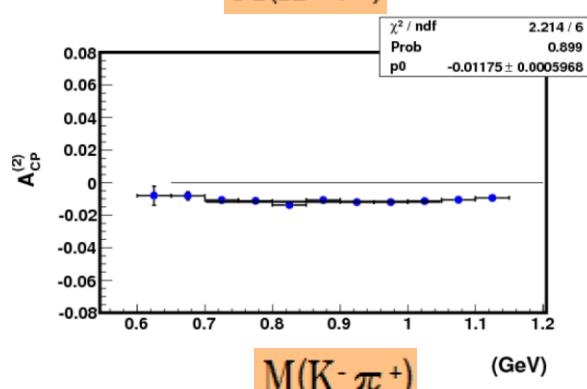
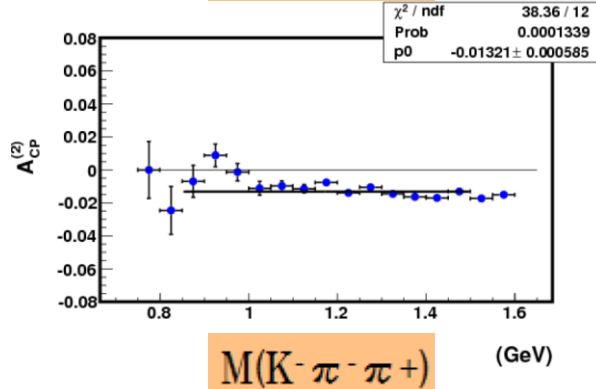
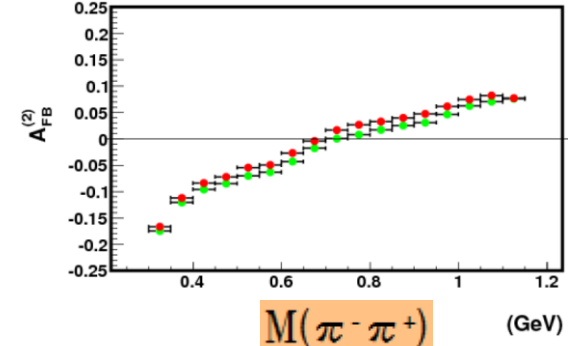
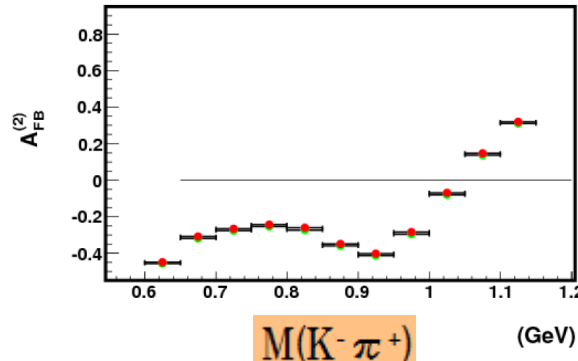
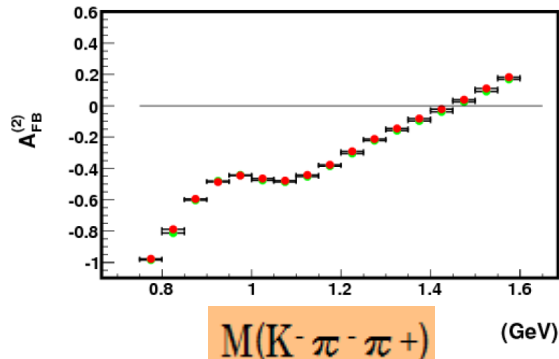
$\chi^2/\text{ndf}: 19.07/12$
 prob: 0.09
 $\bar{A}_{CP} : -0.0186 \pm 0.0016$

$\chi^2/\text{ndf}: 15.09/12$
 prob: 0.24
 $\bar{A}_{CP} : -0.0201 \pm 0.0016$

$\chi^2/\text{ndf}: 12.83/12$
 prob: 0.038
 $\bar{A}_{CP} : -0.0222 \pm 0.0017$

分布より、質量に依存しない約-2%のシフトがみられる。

主なバックグラウンドである $\tau^- \rightarrow \pi^- \pi^- \pi^+ \nu_\tau$ 事象の $\sin\beta\cos\gamma$ に関するCP非対称度 $A_{CP}^{(2)}$



$\chi^2/\text{ndf}: 38.36/12$
 prob: 0.0001
 $\bar{A}_{CP} : -0.0132 \pm 0.0006$

$\chi^2/\text{ndf}: 2.214/6$
 prob: 0.90
 $\bar{A}_{CP} : -0.0118 \pm 0.0006$

$\chi^2/\text{ndf}: 10.97/12$
 prob: 0.53
 $\bar{A}_{CP} : -0.0156 \pm 0.0005$

分布より、質量に依存しない約-1%のシフトがみられる。
 これは、シグナルである $\tau^- \rightarrow K^- \pi^- \pi^+ \nu_\tau$ 事象の場合とほぼ同じ結果。

データを用いた測定の結果

崩壊角	質量	$\bar{A}_{CP} \quad \tau^- \rightarrow K^- \pi^- \pi^+ \nu_\tau$	$\bar{A}_{CP} \quad \tau^- \rightarrow \pi^- \pi^- \pi^+ \nu_\tau$
$\cos\beta$	M(K $\pi\pi$)	0.0002 \pm 0.0016	0.0006 \pm 0.0006
	M(K π)	-0.0002 \pm 0.0016	0.0007 \pm 0.0006
	M($\pi\pi$)	0.0001 \pm 0.0017	0.0007 \pm 0.0005
$\sin\beta\sin\gamma$	M(K $\pi\pi$)	-0.0063 \pm 0.0016	0.004 \pm 0.0005
	M(K π)	-0.0070 \pm 0.0016	0.0036 \pm 0.0005
	M($\pi\pi$)	-0.0094 \pm 0.0016	0.0036 \pm 0.0004
$\sin\beta\cos\gamma$	M(K $\pi\pi$)	-0.0186 \pm 0.0016	-0.0132 \pm 0.0006
	M(K π)	-0.0201 \pm 0.0016	-0.0118 \pm 0.0006
	M($\pi\pi$)	-0.0222 \pm 0.0017	-0.0156 \pm 0.0005
		シグナル	バックグラウンド

まとめ

- Belle実験で収集した665/fbのデータ(2000年～2006年)を用いた。
- **モンテカルロシミュレーションによるテスト**
generatorレベルと観測レベルの両方で、 $A_{CP}=0$ という仮定に無矛盾であることを確認した。
⇒ τ 粒子対のスピン-スピン相関の非対称度による影響や、検出器のバイアスの影響を無視することができる。
- **データを用いた測定**
 $\cos\beta \Rightarrow$ 3つの質量 $M(K\pi\pi)$ 、 $M(K\pi)$ 、 $M(\pi\pi)$ に関して $A_{CP}=0$ という仮定に無矛盾
 $\sin\beta\sin\gamma \Rightarrow$ 質量 $M(K\pi\pi)$ 、 $M(K\pi)$ に関して $A_{CP}=0$ という仮定に無矛盾
質量 $M(\pi\pi)$ に関して約-1%の構造
 $\sin\beta\cos\gamma \Rightarrow$ 質量に依存しない約-2%のシフト
- 今後、これらの構造が何による影響かを考えることや、CPを破るモデルによる研究が必要である。

おわり

Back Up

ハドロン構造因子

$$B_1 = \tilde{J}^1 = [F_1(p_1 - p_3)^x + F_2(p_2 - p_3)^x]$$

$$B_2 = \tilde{J}^2 = (F_1 - F_2)p_1^y$$

$$B_3 = -i\tilde{J}^3 = F_3\sqrt{Q^2}p_1^x p_3^x$$

$$B_4 = \tilde{J}^0 = \sqrt{Q^2} \left[F_4 + \frac{f_H}{m_\tau} \eta p \right]$$

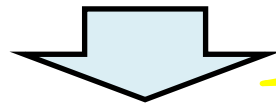
NPにおけるCP対称性の破れの原因

cosβの定義

- τ⁻の場合

$$\cos \beta = \vec{n}_L \cdot \vec{n}_\perp = \vec{n}_L \cdot (\vec{p}_1 \times \vec{p}_2)$$

$$\tau^-(\vec{p}_{123}) \rightarrow K^-(\vec{p}_1)\pi^-(\vec{p}_2)\pi^+(\vec{p}_3)\nu_\tau$$



CP変換

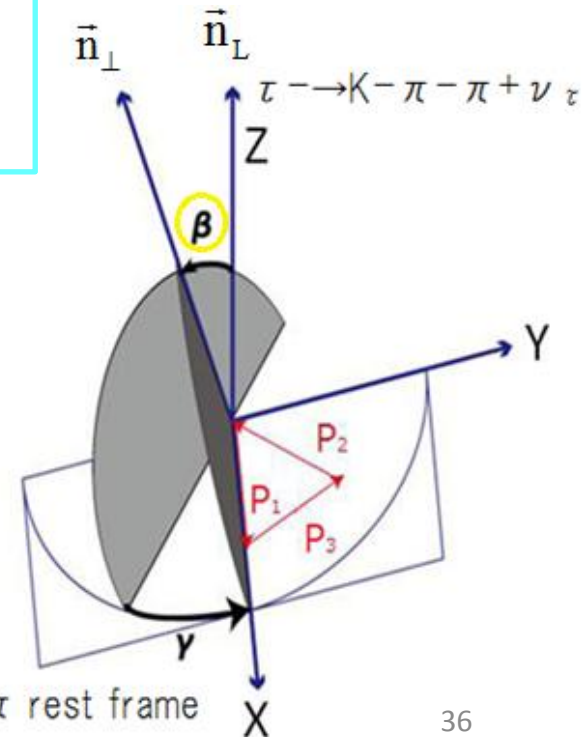
$$\tau^+(\ominus\vec{p}_{123}) \rightarrow K^+(\ominus\vec{p}_1)\pi^+(\ominus\vec{p}_2)\pi^-(\ominus\vec{p}_3)\bar{\nu}_\tau$$

- τ⁺の場合

$$\cos \beta = -\vec{n}_L \cdot ((-\vec{p}_1) \times (-\vec{p}_2))$$

$$\equiv \ominus \vec{n}_L \cdot (\vec{p}_1 \times \vec{p}_2)$$

τ⁻とτ⁺の場合で符号が反転する。



• τ^- の場合

$$\vec{n}_\perp \equiv \frac{\vec{p}_1 \times \vec{p}_2}{|\vec{p}_1 \times \vec{p}_2|}$$

$$\cos \gamma = -\frac{\vec{n}_L \cdot \vec{p}_3}{|\vec{n}_L \times \vec{n}_\perp|}$$

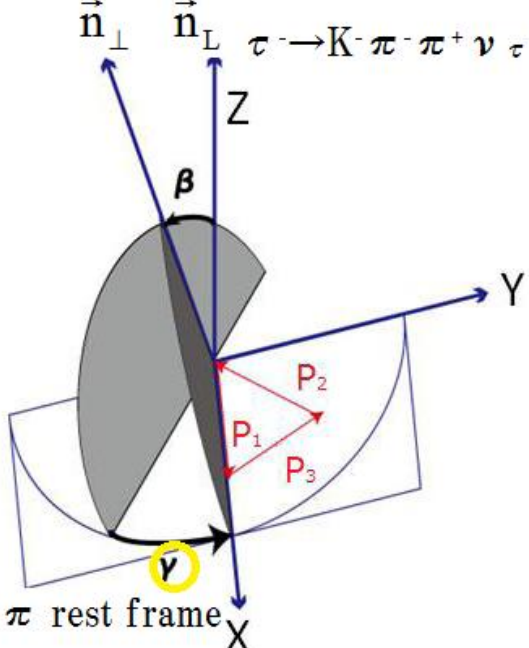
$$\sin \gamma = \frac{(\vec{n}_L \times \vec{n}_\perp) \cdot \vec{p}_3}{|\vec{n}_L \times \vec{n}_\perp|}$$

• τ^+ の場合

$$\vec{n}_\perp \equiv \frac{(-\vec{p}_1) \times (-\vec{p}_2)}{|(-\vec{p}_1) \times (-\vec{p}_2)|} = \frac{\vec{p}_1 \times \vec{p}_2}{|\vec{p}_1 \times \vec{p}_2|}$$

$$\cos \gamma = -\frac{(-\vec{n}_L) \cdot (-\vec{p}_3)}{|(-\vec{n}_L) \times \vec{n}_\perp|} = -\frac{\vec{n}_L \cdot \vec{p}_3}{|\vec{n}_L \times \vec{n}_\perp|}$$

$$\sin \gamma = \frac{((-\vec{n}_L) \times \vec{n}_\perp) \cdot (-\vec{p}_3)}{|(-\vec{n}_L) \times \vec{n}_\perp|} = \frac{(\vec{n}_L \times \vec{n}_\perp) \cdot \vec{p}_3}{|\vec{n}_L \times \vec{n}_\perp|}$$



τ^- の場合と符号が同じ

τ^+ の場合に $\sin \gamma$ と $\cos \gamma$ の符号を反転する必要がない。

CP非対称度 A_{CP} の定義

・ $\cos\beta$ の場合

前方後方非対称度の定義

$$A_{FB,i}^{(3)}(\tau^\pm) = \frac{\int_0^1 \frac{d\Gamma(\tau^\pm)}{d\cos\beta} d\cos\beta - \int_{-1}^0 \frac{d\Gamma(\tau^\pm)}{d\cos\beta} d\cos\beta}{\int_0^1 \frac{d\Gamma(\tau^\pm)}{d\cos\beta} d\cos\beta + \int_{-1}^0 \frac{d\Gamma(\tau^\pm)}{d\cos\beta} d\cos\beta} = \left(\frac{N_i(\cos\beta \geq 0) - N_i(\cos\beta \leq 0)}{N_i(\cos\beta \geq 0) + N_i(\cos\beta \leq 0)} \right)_{\tau^\pm}$$

ここで、 i は質量ビンを表す。

- $N_i(\cos\beta > 0)$: i 番目のビンにあり、 $\cos\beta > 0$ の領域に存在する事象数
- $N_i(\cos\beta < 0)$: i 番目のビンにあり、 $\cos\beta < 0$ の領域に存在する事象数

CP非対称度の定義

$$A_{CP,i}^{(3)} \equiv A_{FB,i}^{(3)}(\tau^-) - A_{FB,i}^{(3)}(\tau^+)$$

$$\equiv \left(\frac{N_i(\cos\beta \geq 0) - N_i(\cos\beta \leq 0)}{N_i(\cos\beta \geq 0) + N_i(\cos\beta \leq 0)} \right)_{\tau^-} - \left(\frac{N_i(\cos\beta \geq 0) - N_i(\cos\beta \leq 0)}{N_i(\cos\beta \geq 0) + N_i(\cos\beta \leq 0)} \right)_{\tau^+}$$

cos β > 0 と cos β < 0 の差
cos β > 0 と cos β < 0 の差
 τ^- と τ^+ の差

→この A_{CP} によりCPを破る $\cos\beta$ に関する項を抜き出すことができる。

・ A_{CP} は非対称度の非対称度となっている。

CP非対称度 A_{CP} の定義

前方後方非対称度の定義

- $\sin\beta\sin\gamma$ の場合
$$A_{FB,i}^{(1)}(\tau^\pm) = \left(\frac{N_i(\sin\beta\sin\gamma \geq 0) - N_i(\sin\beta\sin\gamma \leq 0)}{N_i(\sin\beta\sin\gamma \geq 0) + N_i(\sin\beta\sin\gamma \leq 0)} \right)_{\tau^\pm}$$

- $\sin\beta\cos\gamma$ の場合
$$A_{FB,i}^{(2)}(\tau^\pm) = \left(\frac{N_i(\sin\beta\cos\gamma \geq 0) - N_i(\sin\beta\cos\gamma \leq 0)}{N_i(\sin\beta\cos\gamma \geq 0) + N_i(\sin\beta\cos\gamma \leq 0)} \right)_{\tau^\pm}$$

CP非対称度の定義

- $\sin\beta\sin\gamma$ の場合
$$A_{CP}^{(1)} \equiv A_{FB,i}^{(1)}(\tau^-) - A_{FB,i}^{(1)}(\tau^+)$$

$$\equiv \left(\frac{N_i(\sin\beta\sin\gamma \geq 0) - N_i(\sin\beta\sin\gamma \leq 0)}{N_i(\sin\beta\sin\gamma \geq 0) + N_i(\sin\beta\sin\gamma \leq 0)} \right)_{\tau^-} - \left(\frac{N_i(\sin\beta\sin\gamma \geq 0) - N_i(\sin\beta\sin\gamma \leq 0)}{N_i(\sin\beta\sin\gamma \geq 0) + N_i(\sin\beta\sin\gamma \leq 0)} \right)_{\tau^+}$$

- $\sin\beta\cos\gamma$ の場合 $\sin\beta\cos\gamma > 0$ と $\sin\beta\cos\gamma < 0$ の差 $\sin\beta\sin\gamma > 0$ と $\sin\beta\sin\gamma < 0$ の差

$$A_{CP}^{(2)} \equiv A_{FB,i}^{(2)}(\tau^-) - A_{FB,i}^{(2)}(\tau^+)$$

$$\equiv \left(\frac{N_i(\sin\beta\cos\gamma \geq 0) - N_i(\sin\beta\cos\gamma \leq 0)}{N_i(\sin\beta\cos\gamma \geq 0) + N_i(\sin\beta\cos\gamma \leq 0)} \right)_{\tau^-} - \left(\frac{N_i(\sin\beta\cos\gamma \geq 0) - N_i(\sin\beta\cos\gamma \leq 0)}{N_i(\sin\beta\cos\gamma \geq 0) + N_i(\sin\beta\cos\gamma \leq 0)} \right)_{\tau^+}$$

$\sin\beta\cos\gamma > 0$ と $\sin\beta\cos\gamma < 0$ の差

$\sin\beta\cos\gamma > 0$ と $\sin\beta\cos\gamma < 0$ の差

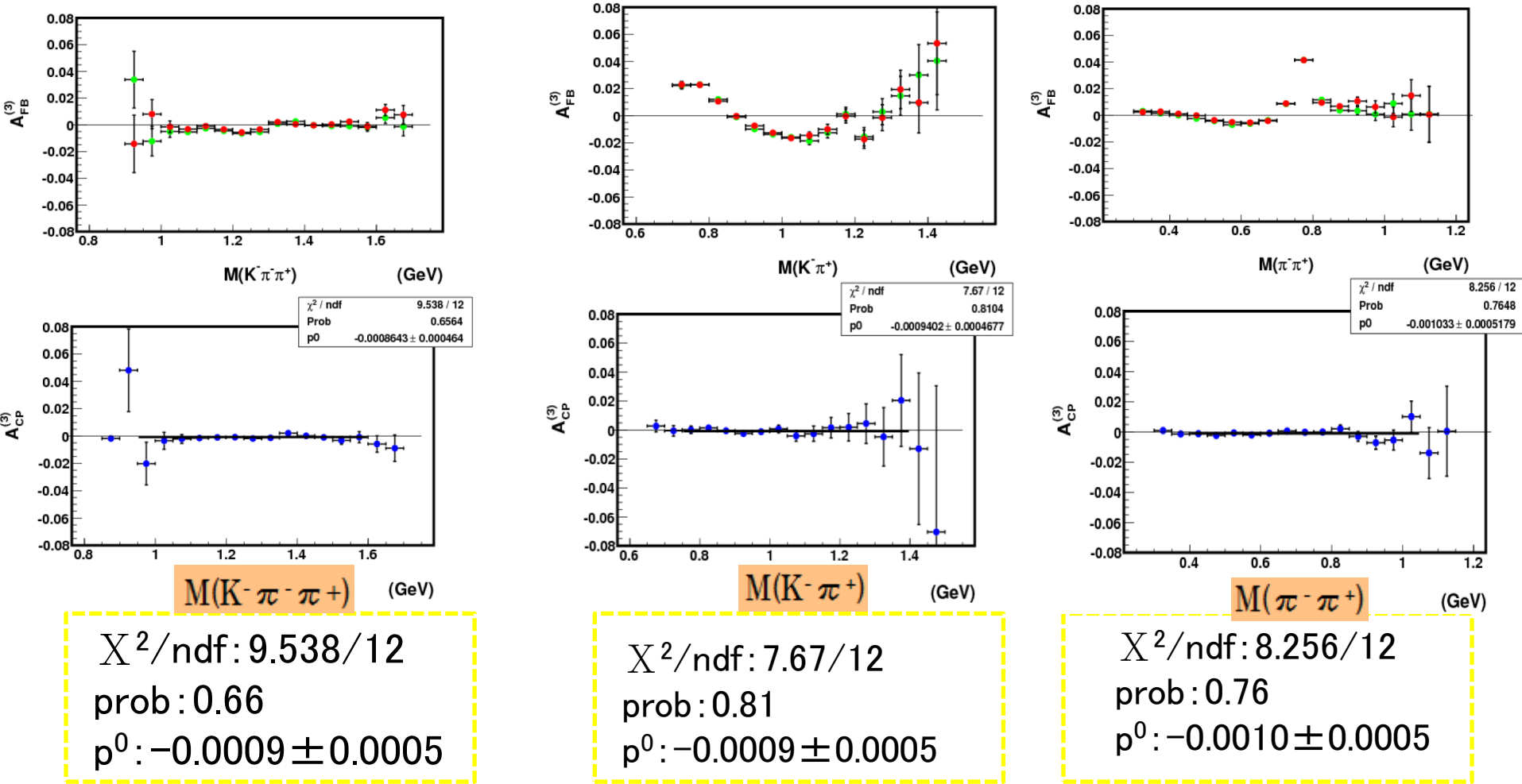
χ^2 検定

- ・「結果がCP非対称度ゼロ」という仮定と統計的にどれだけ無矛盾かを評価。
- ・フィット関数: ACP=0という直線からのずれから χ^2 を求めた。
- ・ χ^2 の値を持つ確率は、probとしている。

$$prob = \int_{\chi^2}^{\infty} f(z, ndf) dz$$

- ・Fは χ^2 の確率密度関数

generatorレベルでの $\cos\beta$ に関するCP非対称度 $A_{CP}^{(3)}$ ⁽³⁾



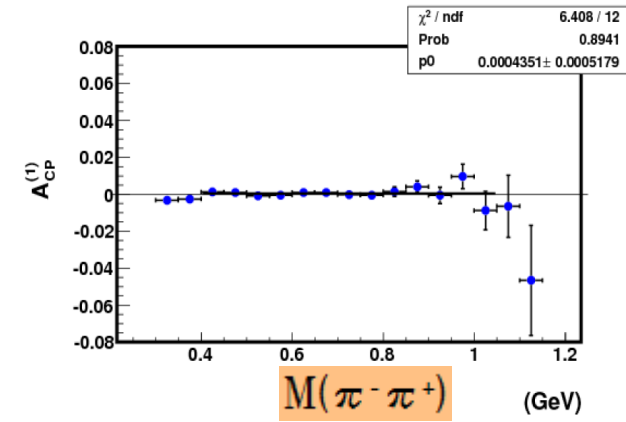
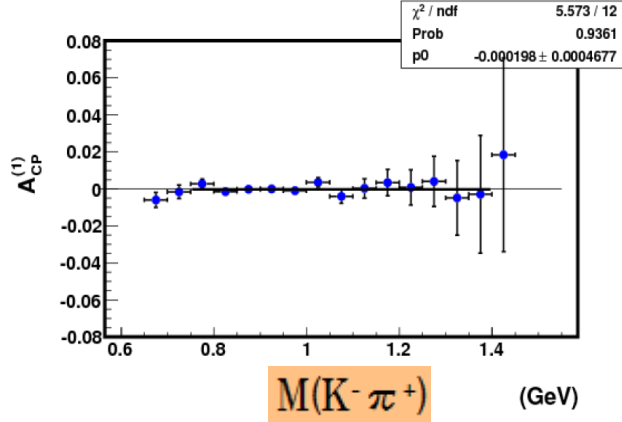
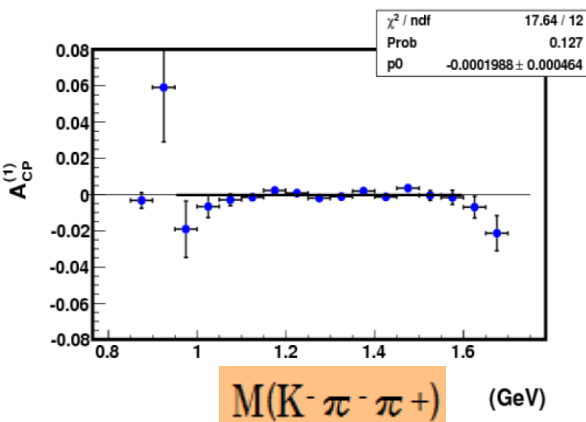
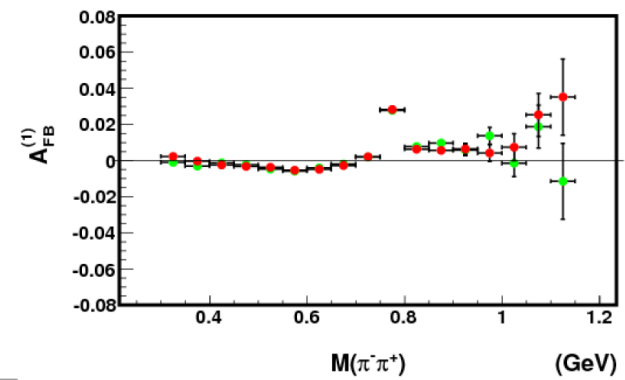
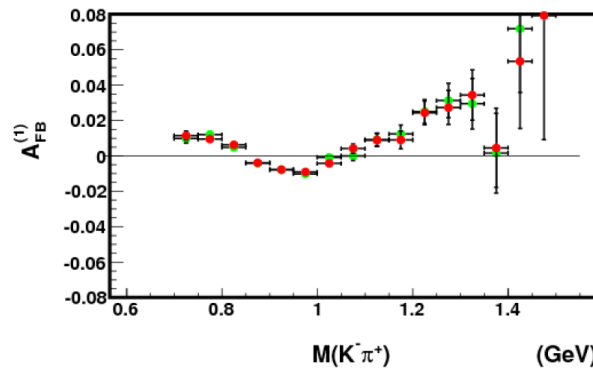
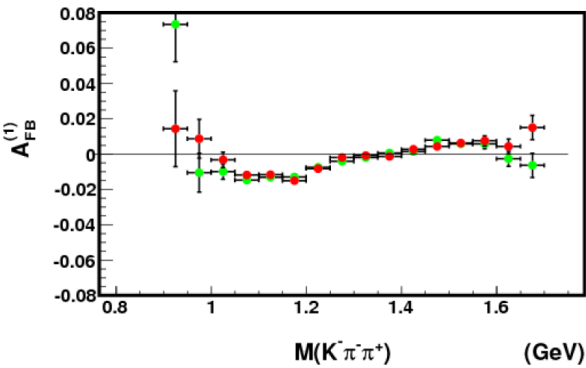
$\chi^2 / \text{ndf}: 9.538 / 12$
 prob: 0.66
 $p^0: -0.0009 \pm 0.0005$

$\chi^2 / \text{ndf}: 7.67 / 12$
 prob: 0.81
 $p^0: -0.0009 \pm 0.0005$

$\chi^2 / \text{ndf}: 8.256 / 12$
 prob: 0.76
 $p^0: -0.0010 \pm 0.0005$

・定量的な評価: CP非対称度ゼロという仮定で χ^2 を計算
 (probは χ^2 / ndf の値を持つ確率、 p^0 はCP非対称度の平均値)

generatorレベルでの $\sin\beta\sin\gamma$ に関するCP非対称度 $A_{CP}^{(1)}$ ⁽¹⁾

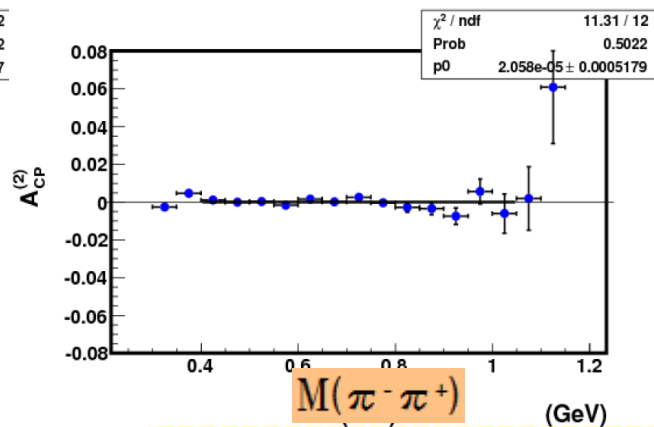
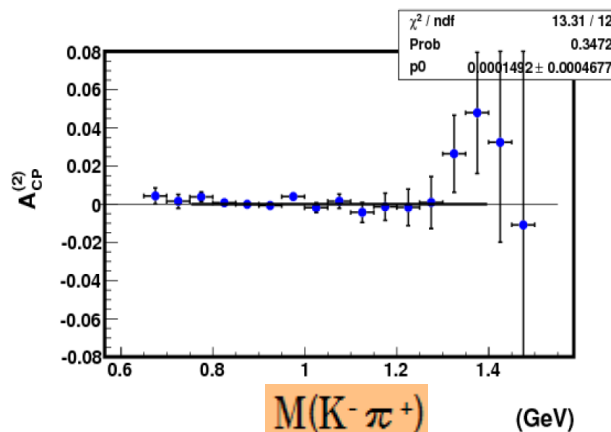
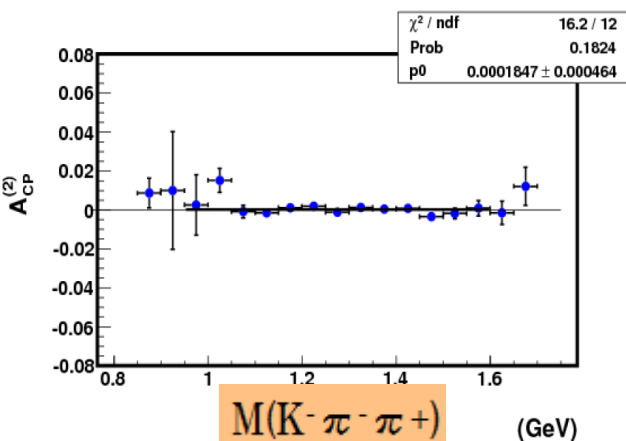
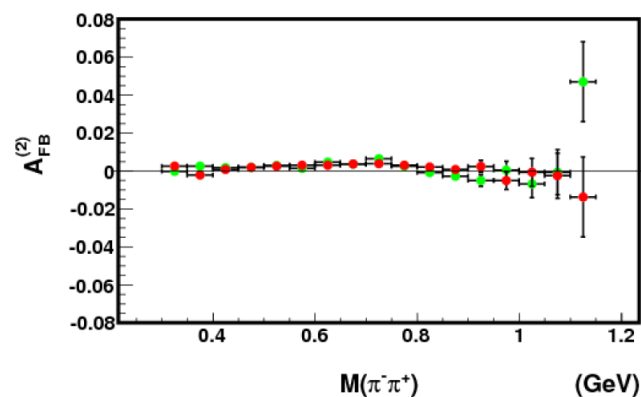
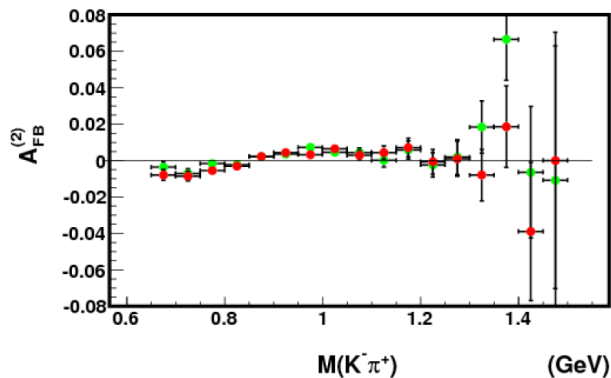
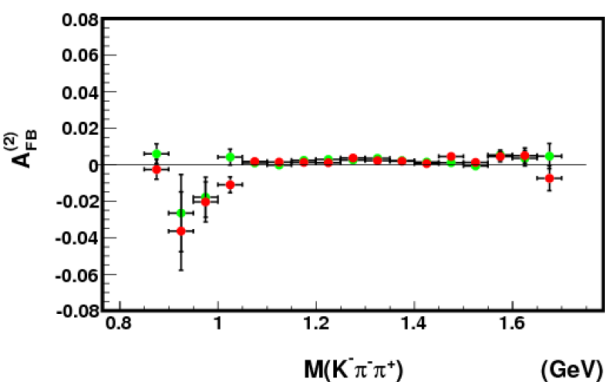


$\chi^2/\text{ndf}: 17.64/12$
 prob: 0.13
 $p^0: -0.0002 \pm 0.0005$

$\chi^2/\text{ndf}: 5.573/12$
 prob: 0.94
 $p^0: -0.0002 \pm 0.0005$

$\chi^2/\text{ndf}: 6.408/12$
 prob: 0.89
 $p^0: -0.0004 \pm 0.0005$

generatorレベルでの $\sin\beta\cos\gamma$ に関するCP非対称度 $A_{CP}^{(2)}$ ⁽²⁾

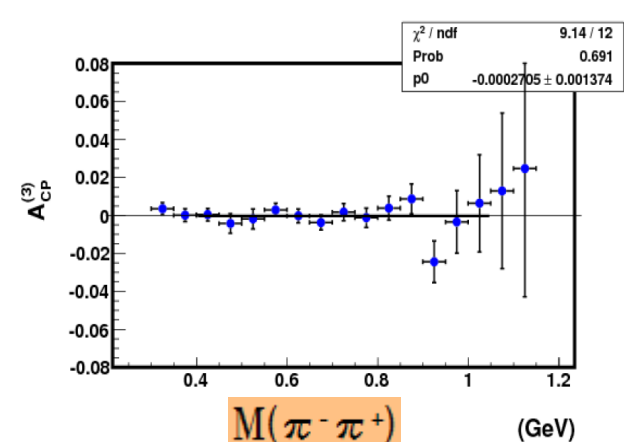
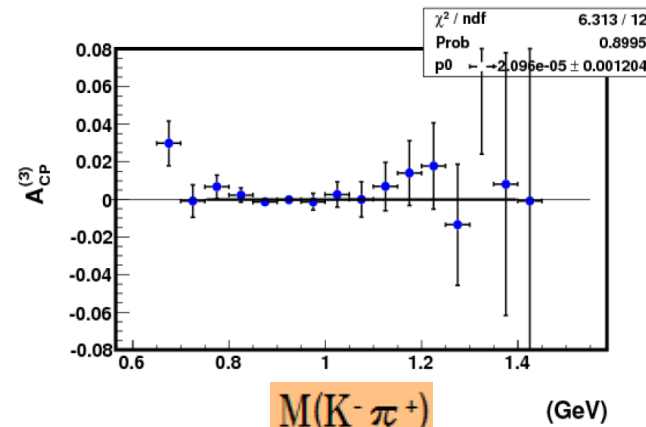
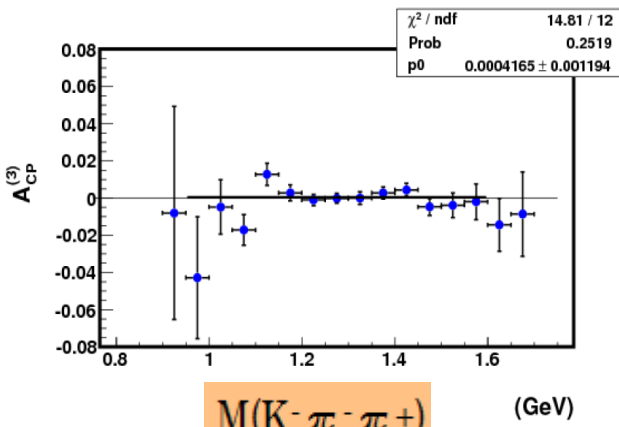
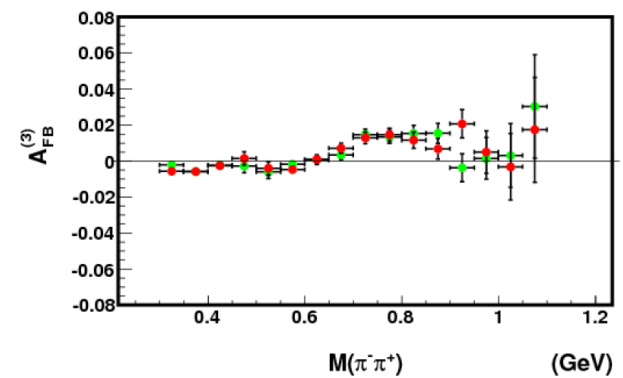
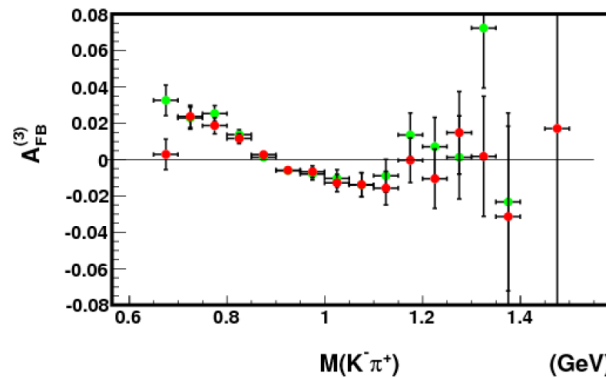
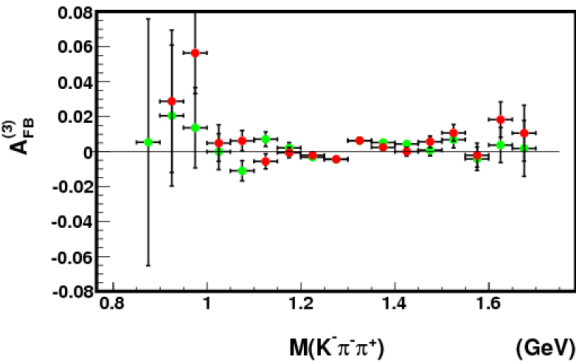


$\chi^2/\text{ndf}: 16.2/12$
 prob: 0.18
 $p^0: 0.0002 \pm 0.0005$

$\chi^2/\text{ndf}: 13.31/12$
 prob: 0.35
 $p^0: 0.0001 \pm 0.0005$

$\chi^2/\text{ndf}: 11.31/12$
 prob: 0.50
 $p^0: 0.00002 \pm 0.0005$

観測レベルでの $\cos\beta$ に関するCP非対称度 $A_{CP}^{(3)}$ ⁽³⁾

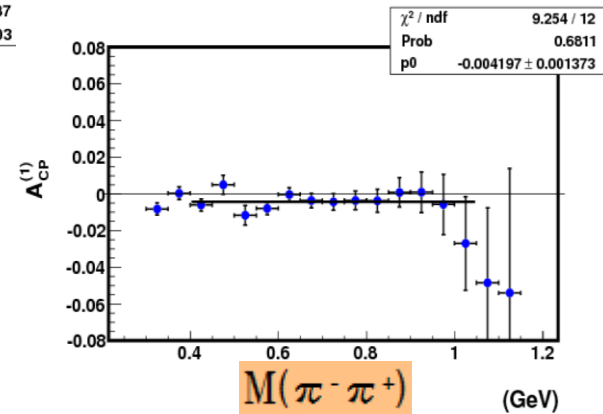
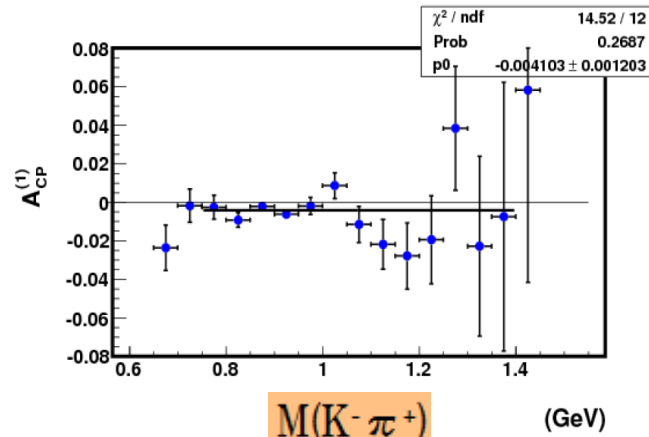
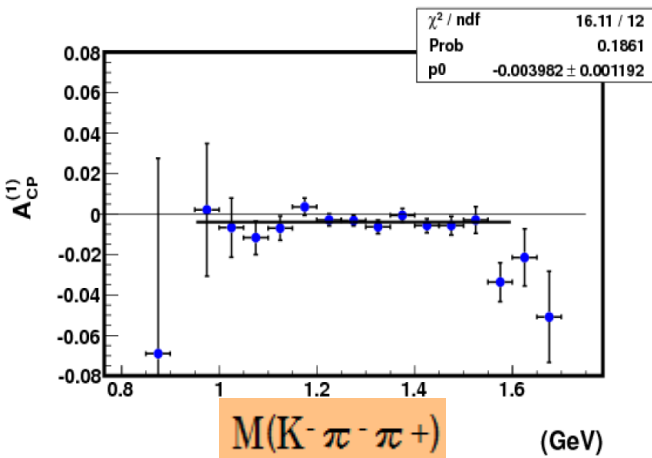
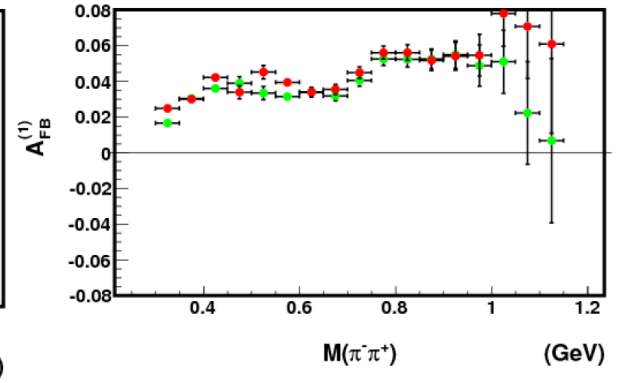
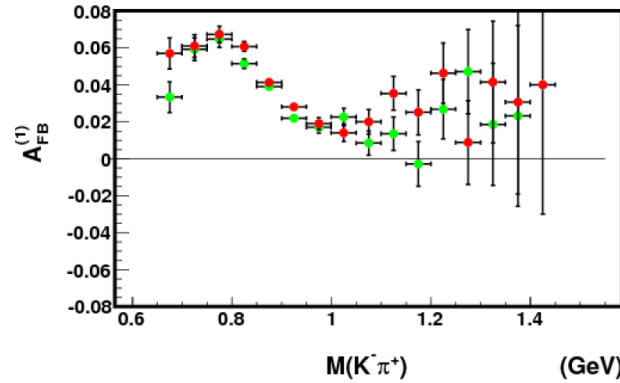
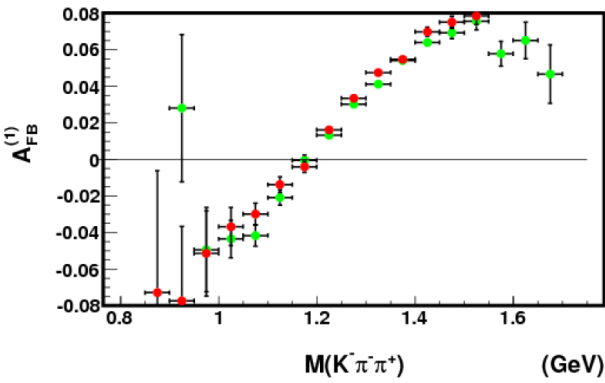


$\chi^2/\text{ndf}: 14.81/12$
 prob: 0.25
 $p^0: 0.0004 \pm 0.0012$

$\chi^2/\text{ndf}: 6.313/12$
 prob: 0.90
 $p^0: -0.00002 \pm 0.0012$

$\chi^2/\text{ndf}: 9.14/12$
 prob: 0.69
 $p^0: -0.0003 \pm 0.0014$

観測レベルでの $\sin\beta\sin\gamma$ に関する CP 非対称度 $A_{CP}^{(1)}$ ⁽¹⁾

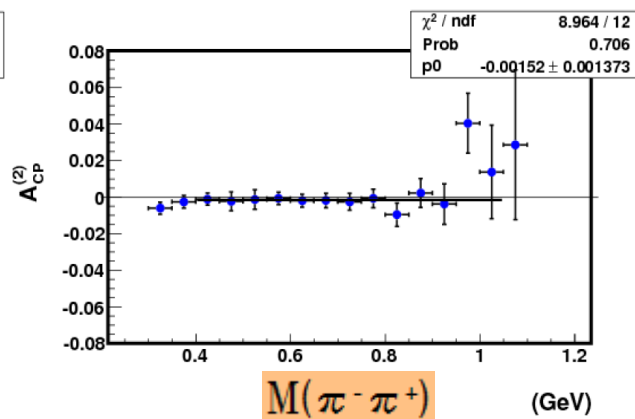
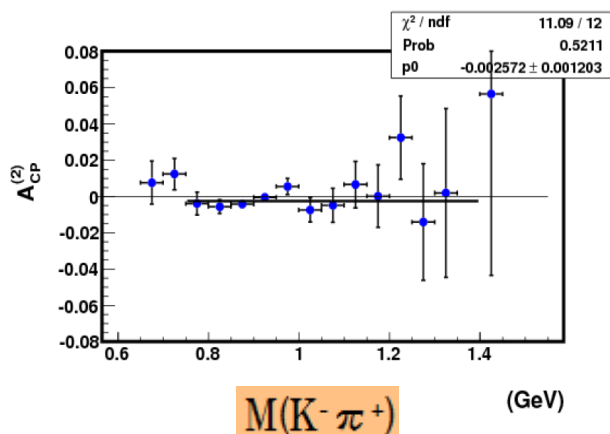
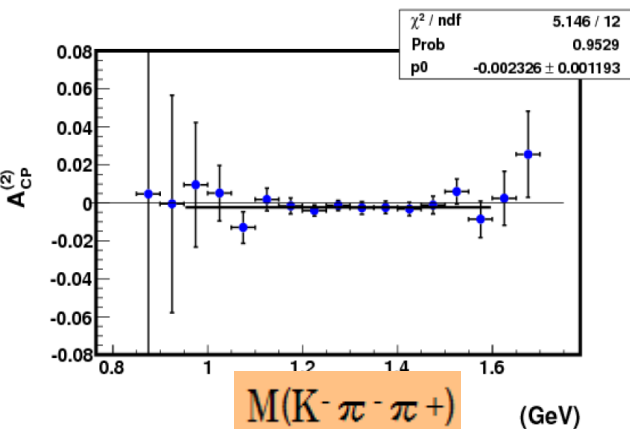
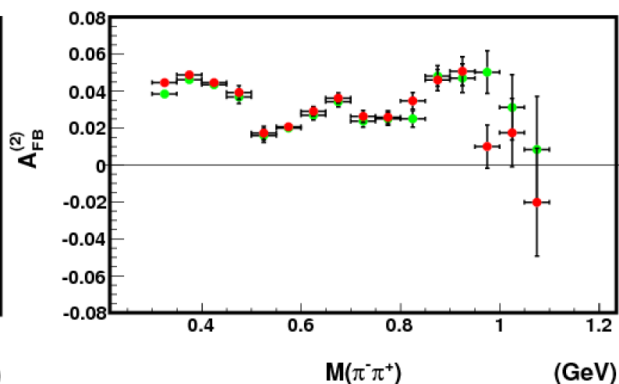
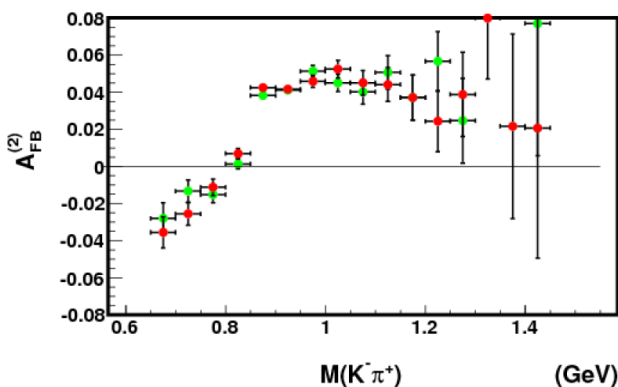
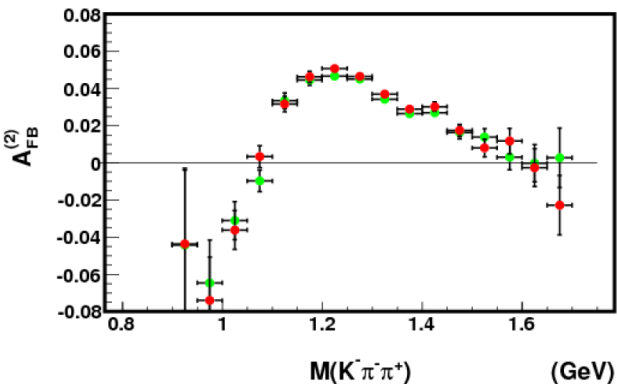


$\chi^2/\text{ndf}: 16.11/12$
 prob: 0.19
 $p^0: -0.0040 \pm 0.0012$

$\chi^2/\text{ndf}: 14.52/12$
 prob: 0.27
 $p^0: -0.0041 \pm 0.0012$

$\chi^2/\text{ndf}: 9.254/12$
 prob: 0.68
 $p^0: -0.0042 \pm 0.0014$

観測レベルでの $\sin\beta\cos\gamma$ に関するCP非対称度 $A_{CP}^{(2)}$



$\chi^2/\text{ndf}: 5.146/12$
 prob: 0.95
 $p^0: -0.0023 \pm 0.0012$

$\chi^2/\text{ndf}: 11.09/12$
 prob: 0.52
 $p^0: -0.0026 \pm 0.0012$

$\chi^2/\text{ndf}: 8.964/12$
 prob: 0.71
 $p^0: -0.0015 \pm 0.0014$